Deutsches Zentrum für Luft- und Raumfahrt Institut für Raketenantriebe

Zoltán Faragó

www.farago.info

OPTIMIERUNG VON RESONATORKONSTELLATIONEN ZUR UNTERDRÜCKUNG HOCHFREQUENTER BRENNKAMMERSCHWINGUNGEN

Seminarvortrag – DLR Lampoldshausen, 25. 01. 2007 und

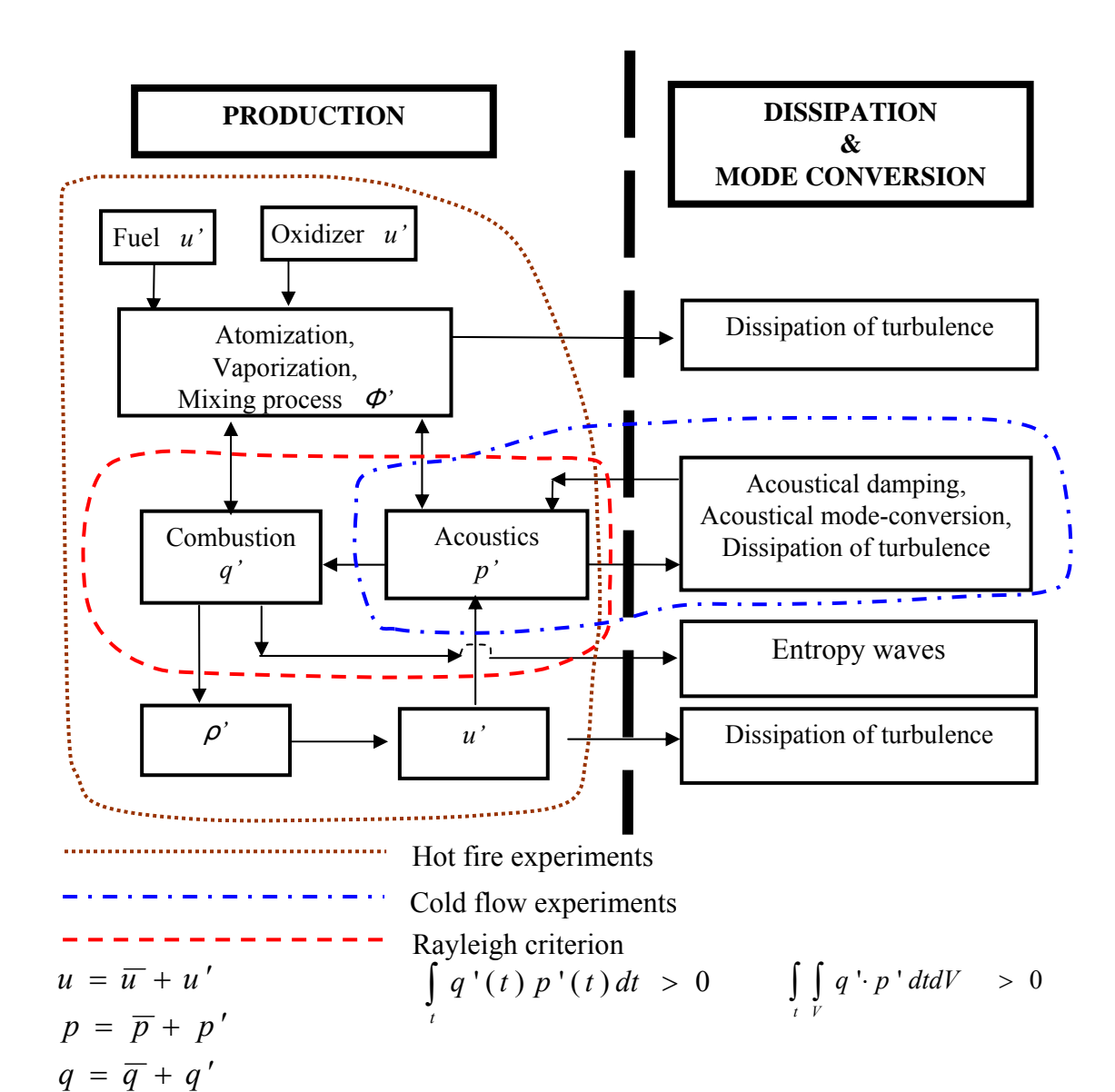
Arbeitsbesprechung – TU München, 15. 02. 2007

- Heiß- und Kaltversuche zur Verbrennungsinstabilität
- Theoretische Überlegungen zur Brennraumakustik
- Versuchsergebnisse
 - Versuchsdurchführung
 - Optimale Winkelposition der Resonatoren
 - Einfluss der Änderung der Schallgeschwindigkeit
 - · Optimale der Anzahl der Resonatoren
 - Optimaler Resonatordurchmesser
 - Optimale Längenabstufung der Resonatoren
 - Weitere Möglichkeiten der Dämpfungserhöhung der Resonatoren
 - Resonatoren mit turbulenzfördernden Elementen
 - Modeunterdrückung mit Obertönen des Resonators
- Schlussbetrachtungen

Heiß- und Kaltversuche zur Verbrennungsinstabilität

| Time | Action | | |
|-------------|----------------------------------|-------------------|--|
| (ms) 0 | Beginning of injection | | |
| | Ignition | | |
| 2100 | Parasitic frequency 3000 Hz | | |
| | Elevation of parasitic frequency | | |
| | Parasitic frequency 5000 Hz | | |
| 0 - 3000 | | | |
| 3000 - 9000 | End of experiment | | |
| 9000 - 9500 | _ | | |
| | Intensive pr | essure pulsation, | |
| 9500 | especially at frequencies of | | |
| | 3700 Hz | Mode 1T-σ | |
| 4700 - 7700 | 4100 Hz | Mode 1Tπ | |
| | 4500 Hz | Mode 1T+σ | |
| | | | |

[1] Hot fire experiment
$$H_2 - O_2$$
; 14 g/s; $\Phi \approx 1$; 6 bar



Heißversuche

Alle Betriebsparameter üben einen Einfluss aus:

Zu viele Parameter, schlechte Wiederholbarkeit, Parameter können schwer voneinander getrennt werden, ...

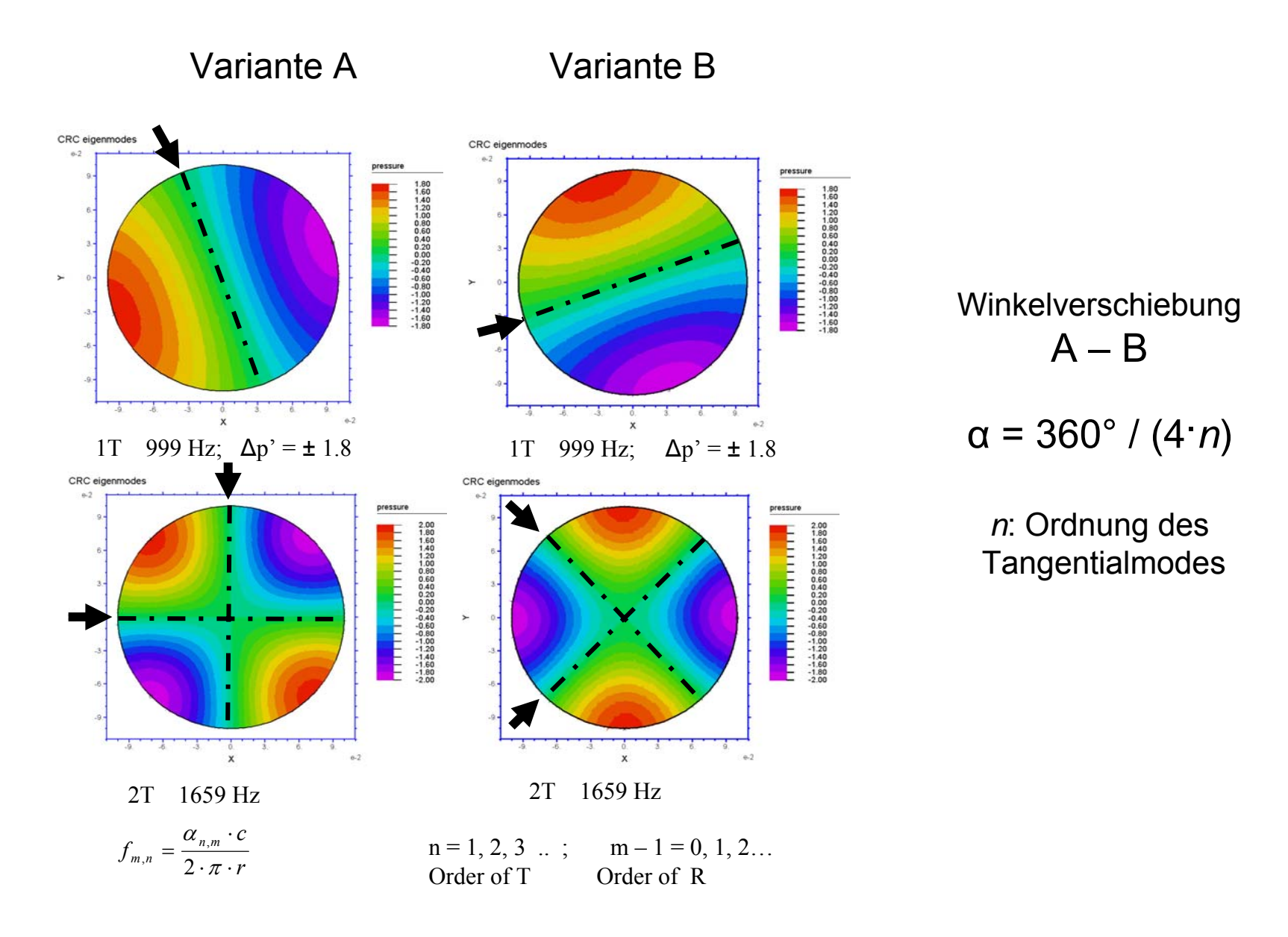
Kaltversuche

Nur die akustischen Eigenschaften werden untersucht:

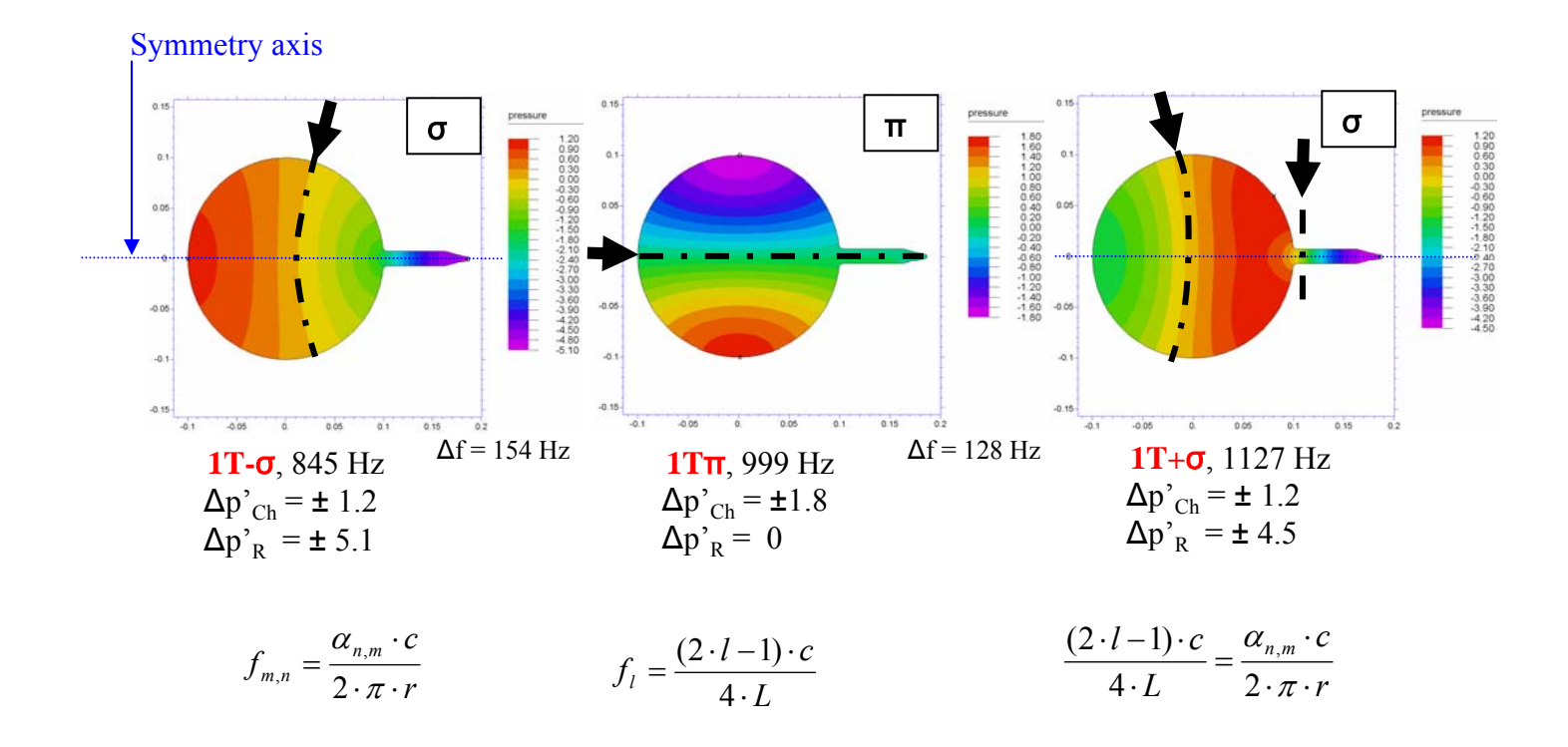
Erhöhte Genauigkeit, bessere Wiederholbarkeit, einfachere Interpretation, ...

Theoretische Überlegungen zur Brennraumakustik

Resonanzverhalten eines gekoppelten Brennkammer-Resonator-Systems

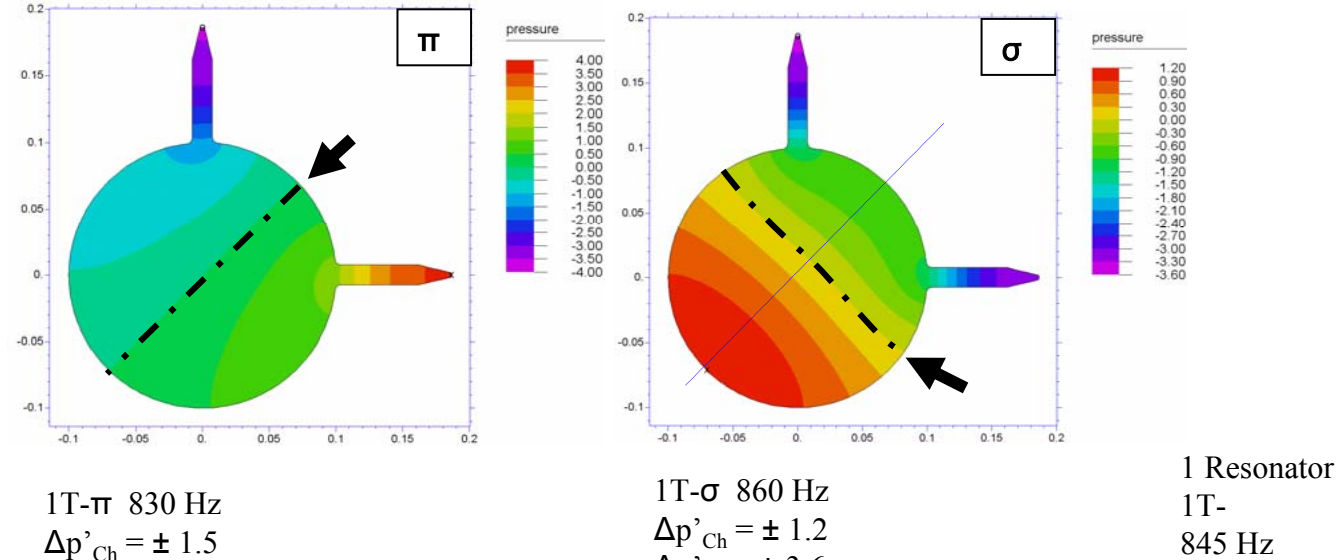


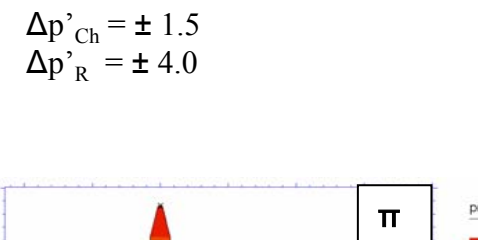
Calculation on pressure fluctuation in a cylindrical chamber [2]



Sigma-Mode: Die Druckverteilung ist symmetrisch bezüglich Spiegelung and der geometrischen Symmetrieachse

Pi-Mode: Die Druckverteilung ist anti-symmetrisch bezüglich Spiegelung and der geometrischen Symmetrieachse

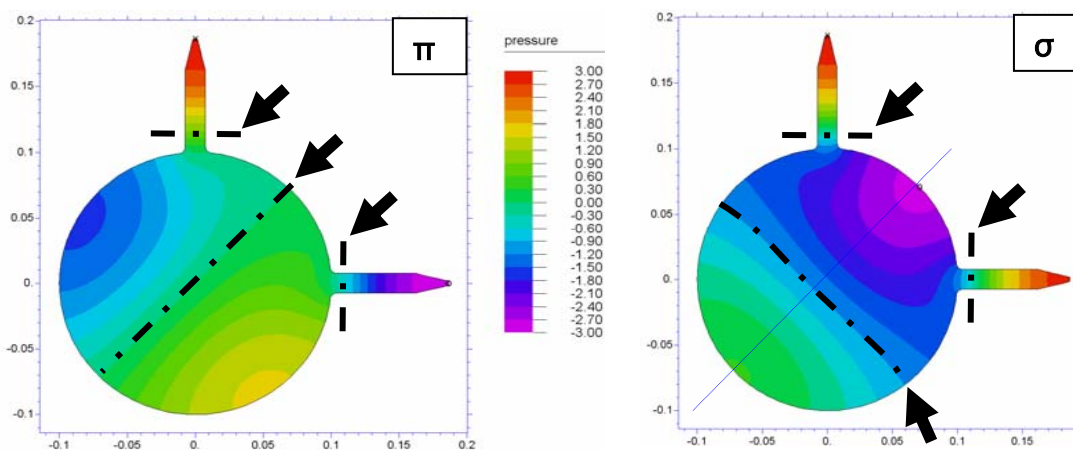






pressure

3.60 3.30 2.70 2.40 2.10 1.80 1.50 0.60 0.30 0.00 -0.30 -0.60 -0.90 -1.20 -1.50



1T+π 1111 Hz $\Delta p'_{Ch} = \pm 1.5$ $\Delta p'_{R} = \pm 3.0$

1T+σ 1147 Hz $\Delta p'_{Ch} = \pm 1.8$ $\Delta p'_{R} = \pm 3.6$

1 Resonator 1T+ 1127 Hz

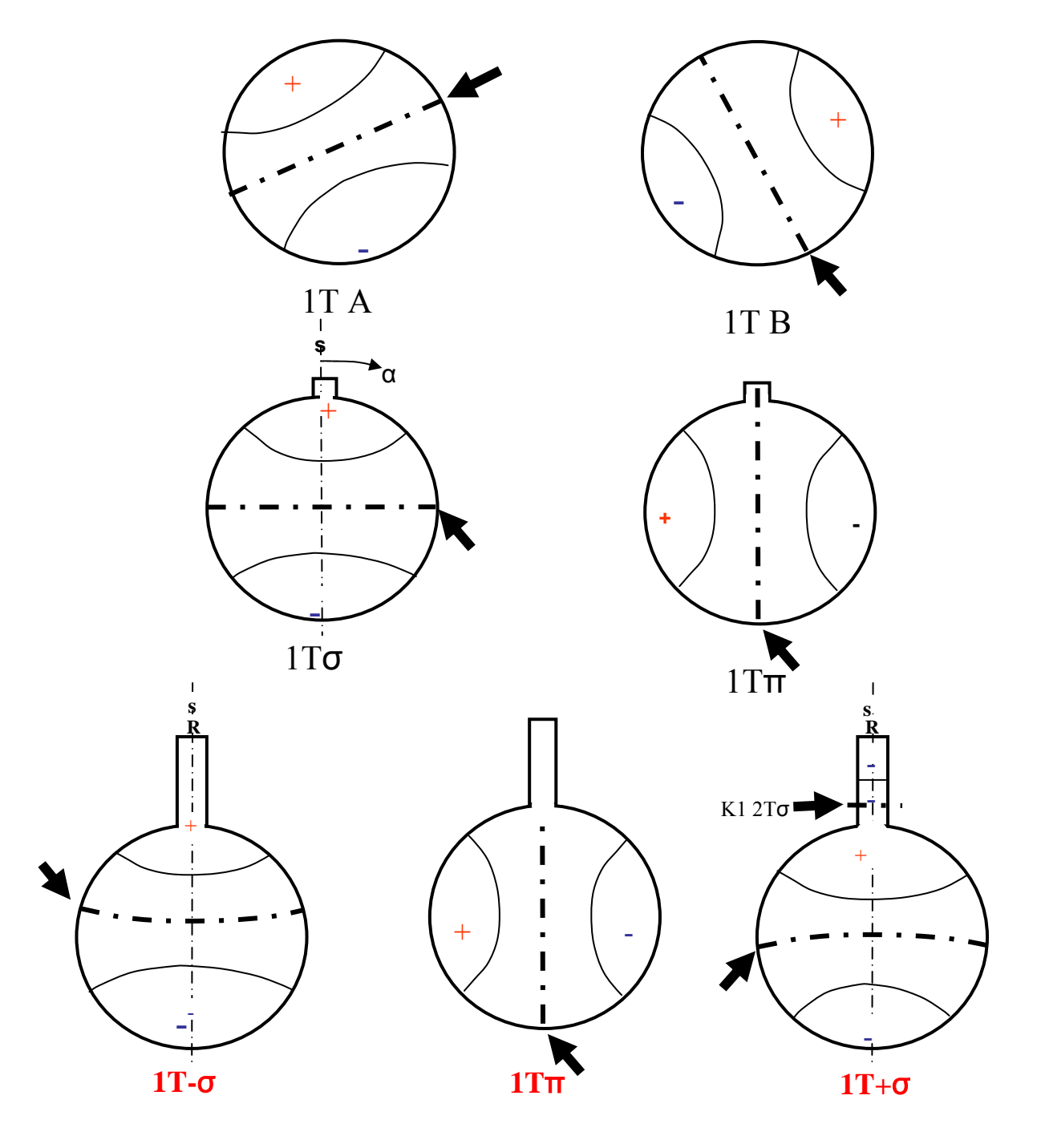
Brennkammer ohne Resonator

Brennkammer mit einem Resonator Resonatorlänge:

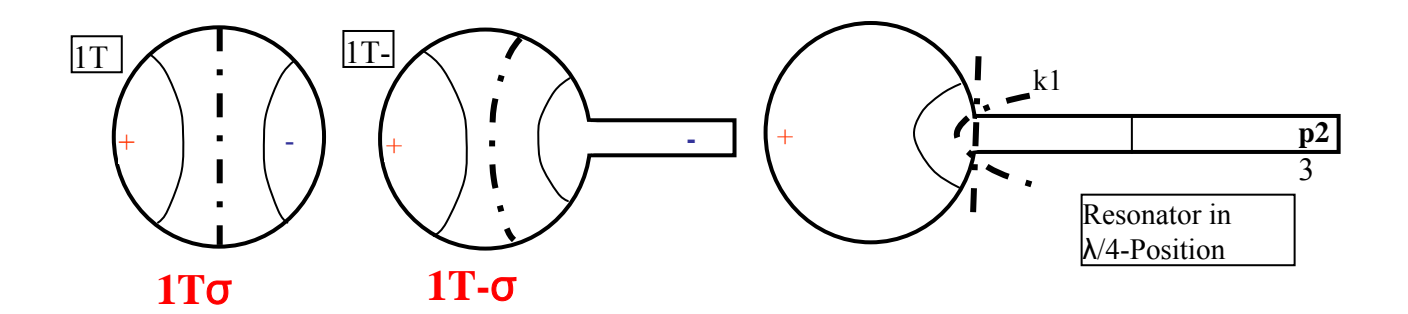
L << r

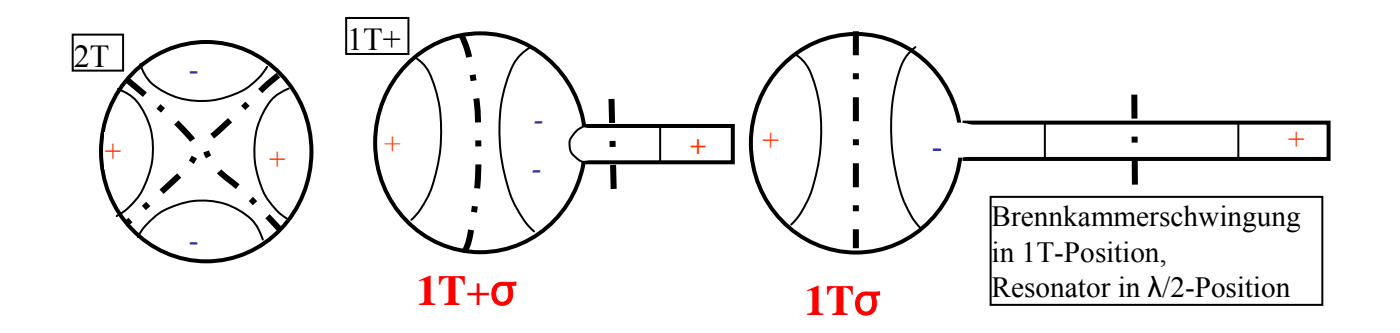
Brennkammer mit einem Resonator Resonatorlänge:

 $L = 0.854 \cdot r$

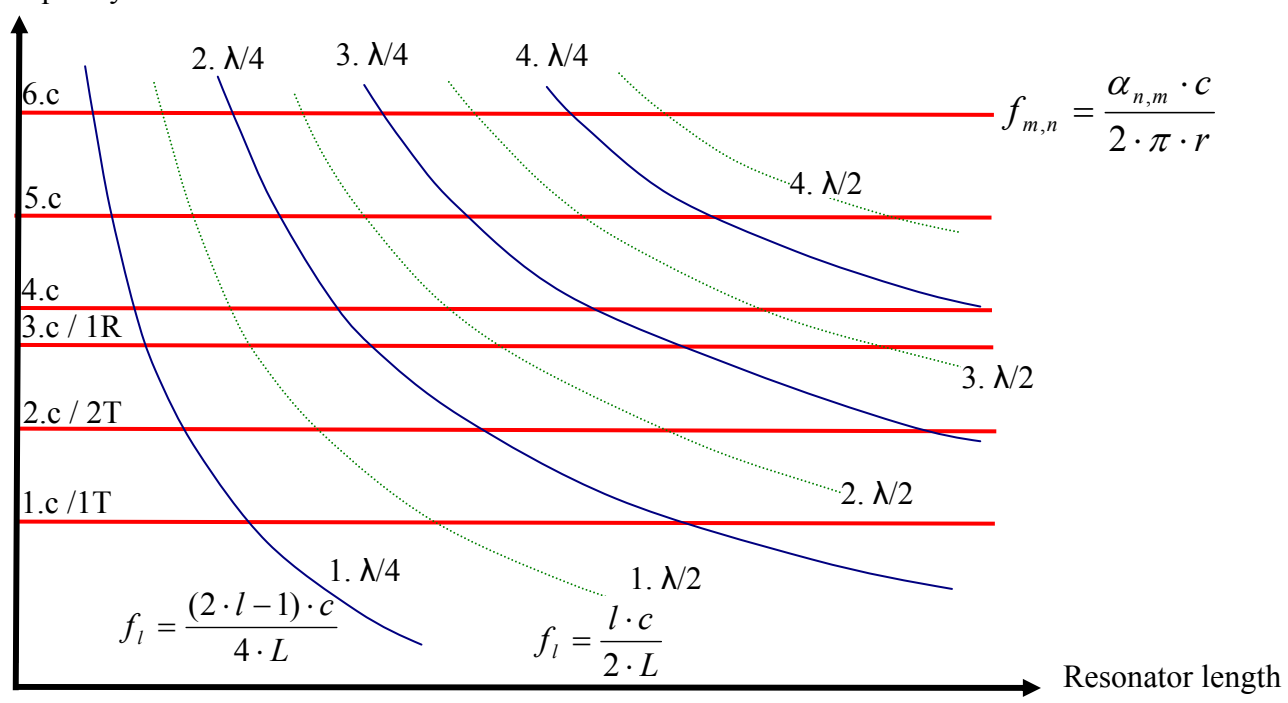


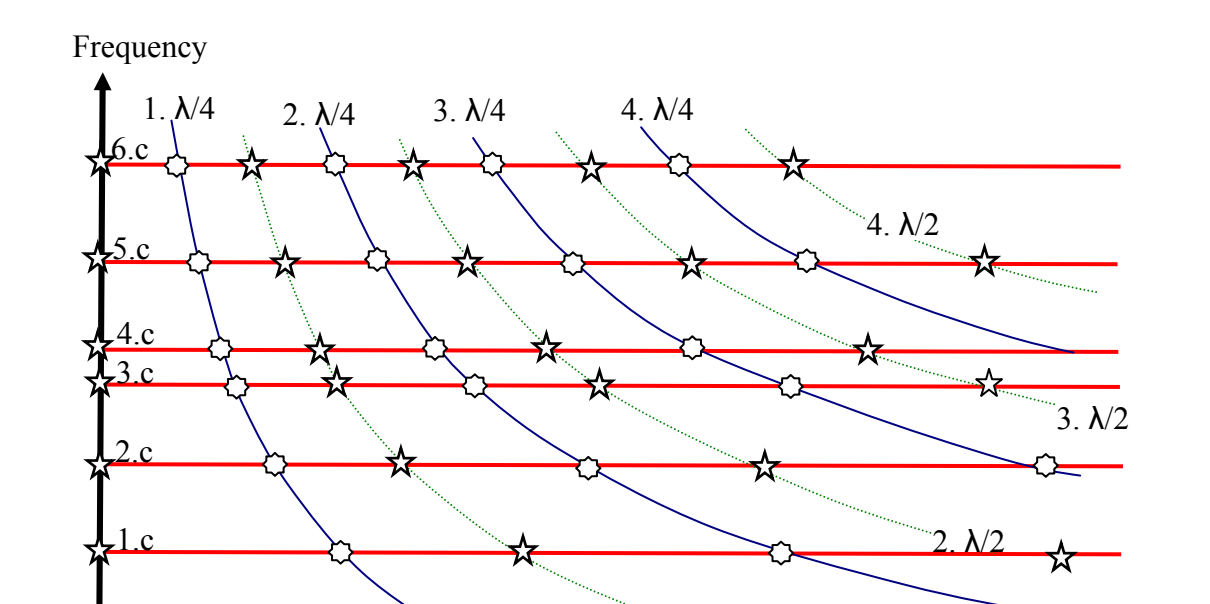
Brennkammer mit einem Resonator Resonatorlänge: L = 2 · 0.854 · r





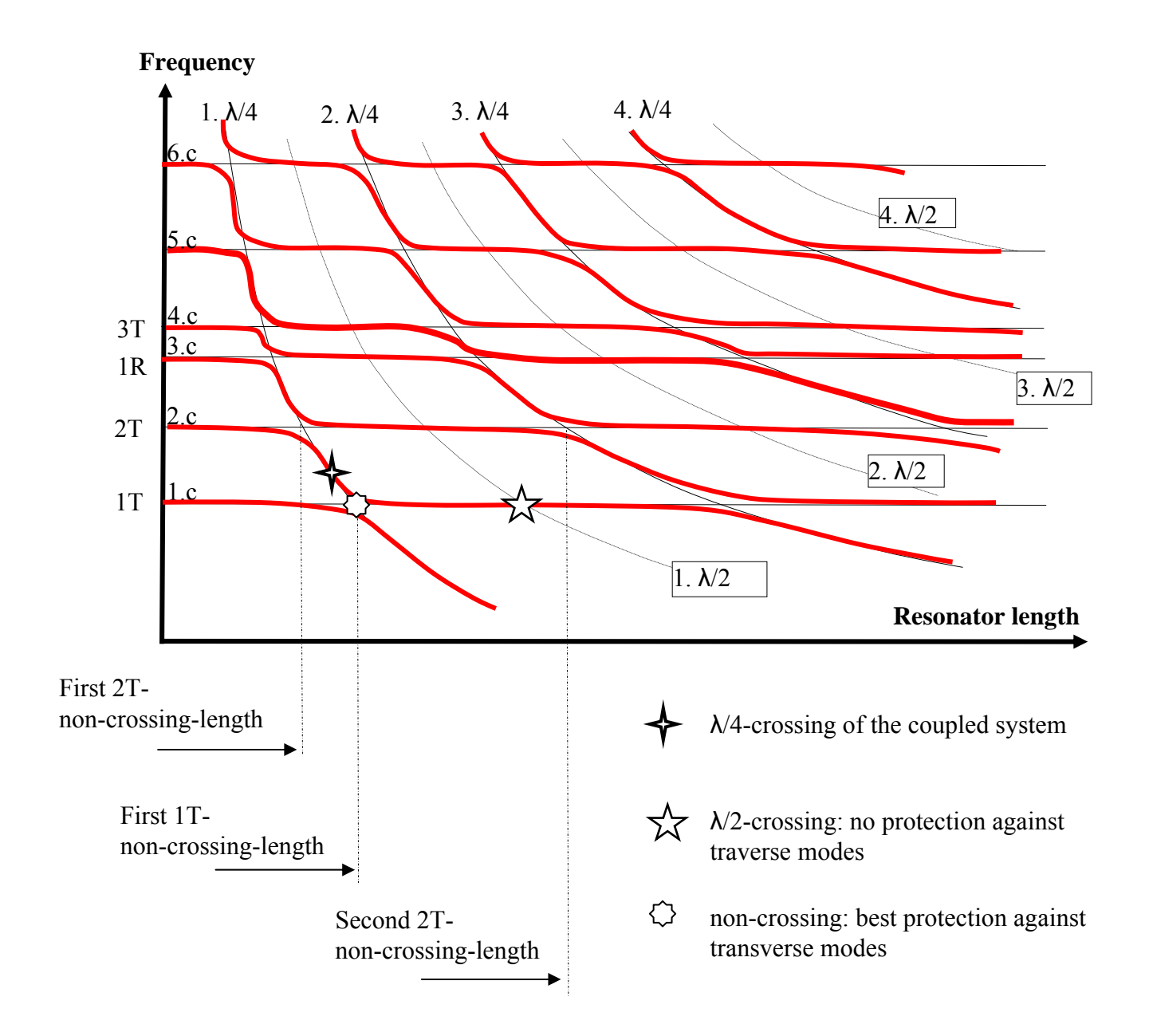


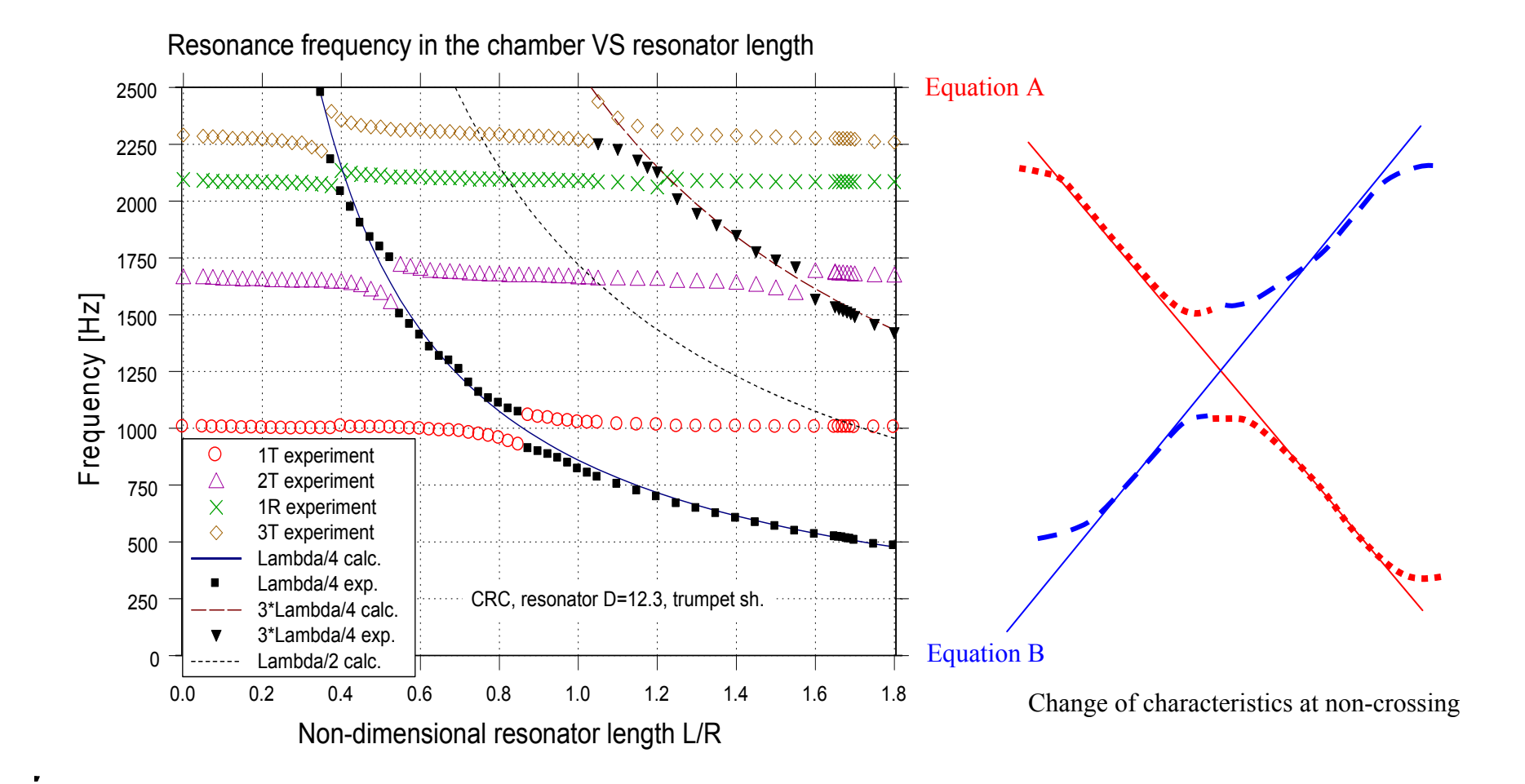




1. λ/2

Resonator length





Angekoppelte Resonatoren modifizieren die Eigenschaften der akustischen Eigenmoden (Frequenz, Linienbreite, Intensität ...)

Jeder Tangentialmode tritt in zwei Varianten auf, deren Winkelverhältnis 360°/(4·n) beträgt, mit n als Ordnung der Tangentialmodes (Sigma- und Pi-Mode, wenn Symmetrielinie vorhanden ist).

Resonatorlängen, die die Gleichung

$$\frac{(2 \cdot l - 1) \cdot c}{4 \cdot L} = \frac{\alpha_{n,m} \cdot c}{2 \cdot \pi \cdot r}$$
 Eigenfrequenz $\lambda/4$ -Rohr = Eigenfrequenz Brennkammer

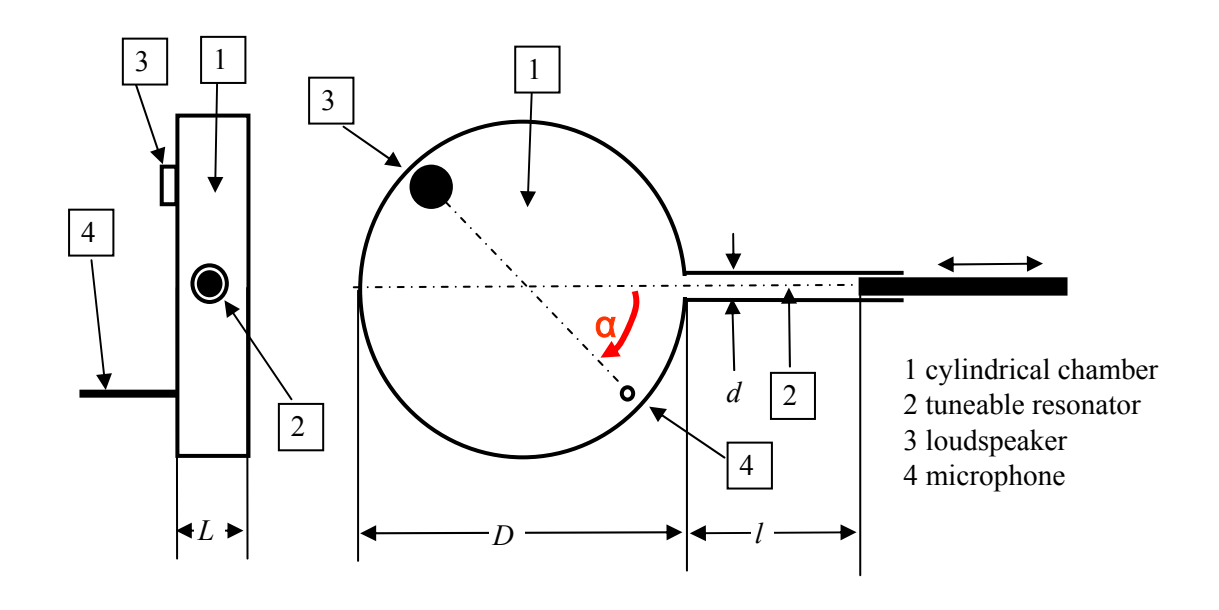
erfüllen, führen zur optimalen Unterdrückung des transversen Modes der Ordnung (n, m) in der Brennkammer (Anti-Cossing-Länge). Resonatorlängen, die die Gleichung

$$\frac{l \cdot c}{2 \cdot L} = \frac{\alpha_{n,m} \cdot c}{2 \cdot \pi \cdot r}$$
 Eigenfrequenz $\lambda/2$ -Rohr = Eigenfrequenz Brennkammer

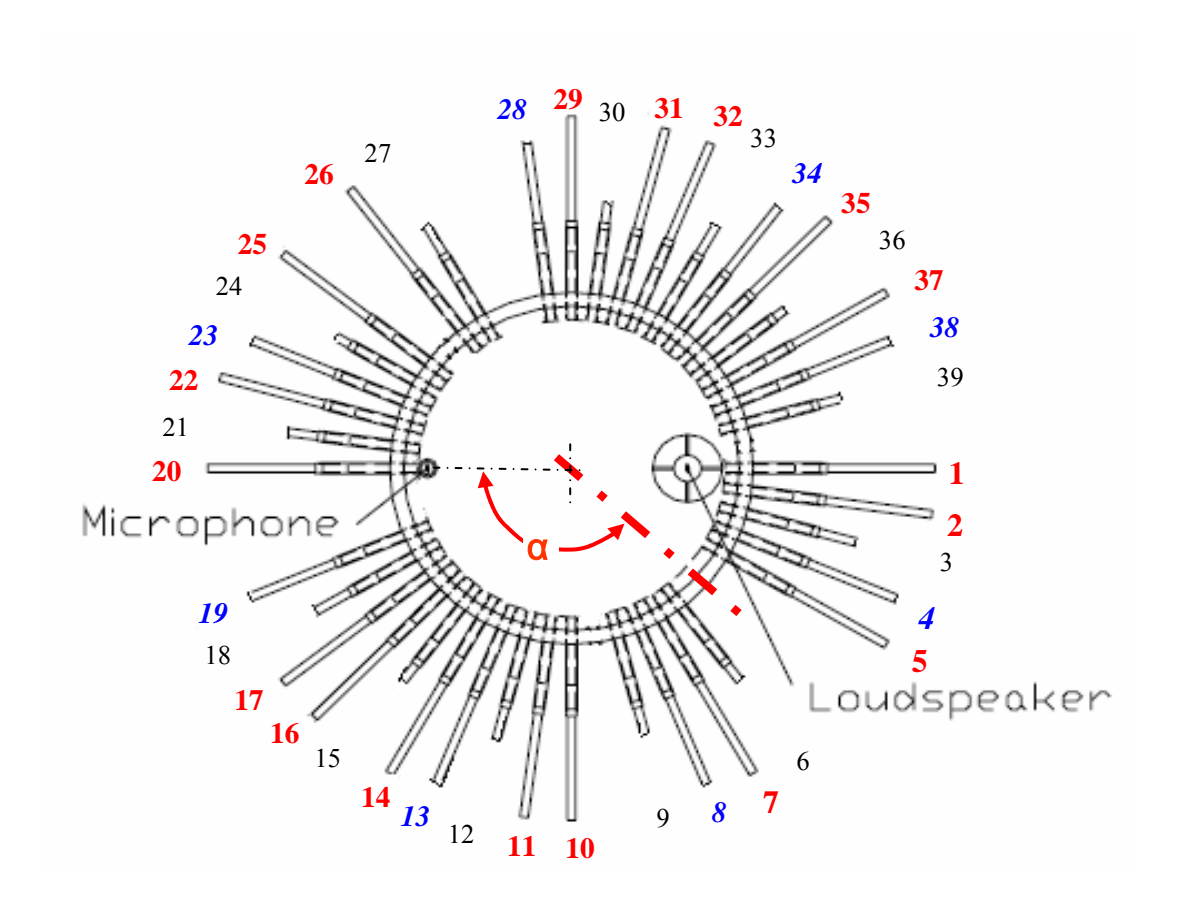
erfüllen, führen zu Druckschwingung des transversen Modes der Ordnung (n, m) die identisch ist mit der einer zylindrischen Brennkammer ohne Resonator (doppelte Anti-Cossing-Länge) [3].

Versuche

Versuchsdurchführung

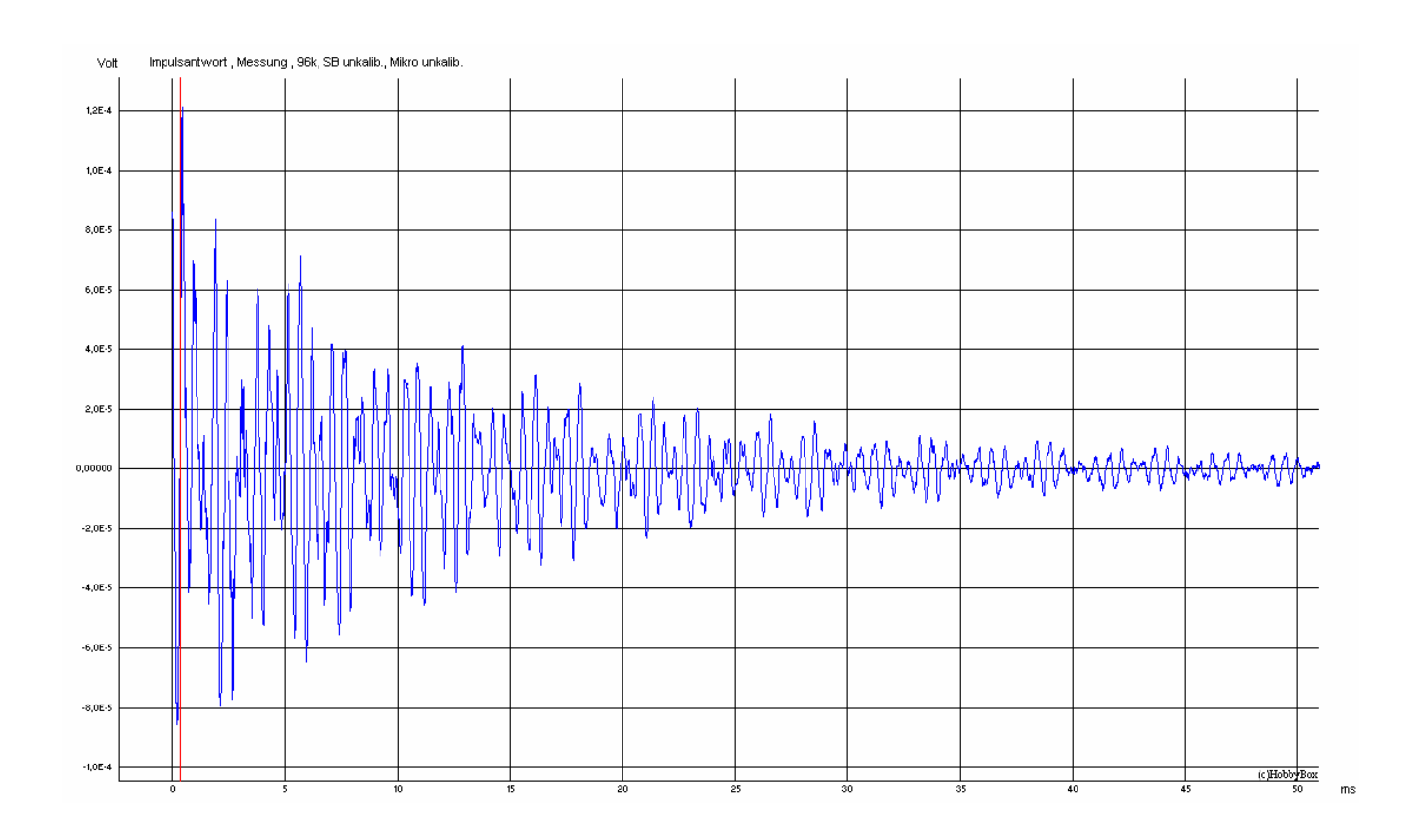


Sketch of the experimental equipment [4]

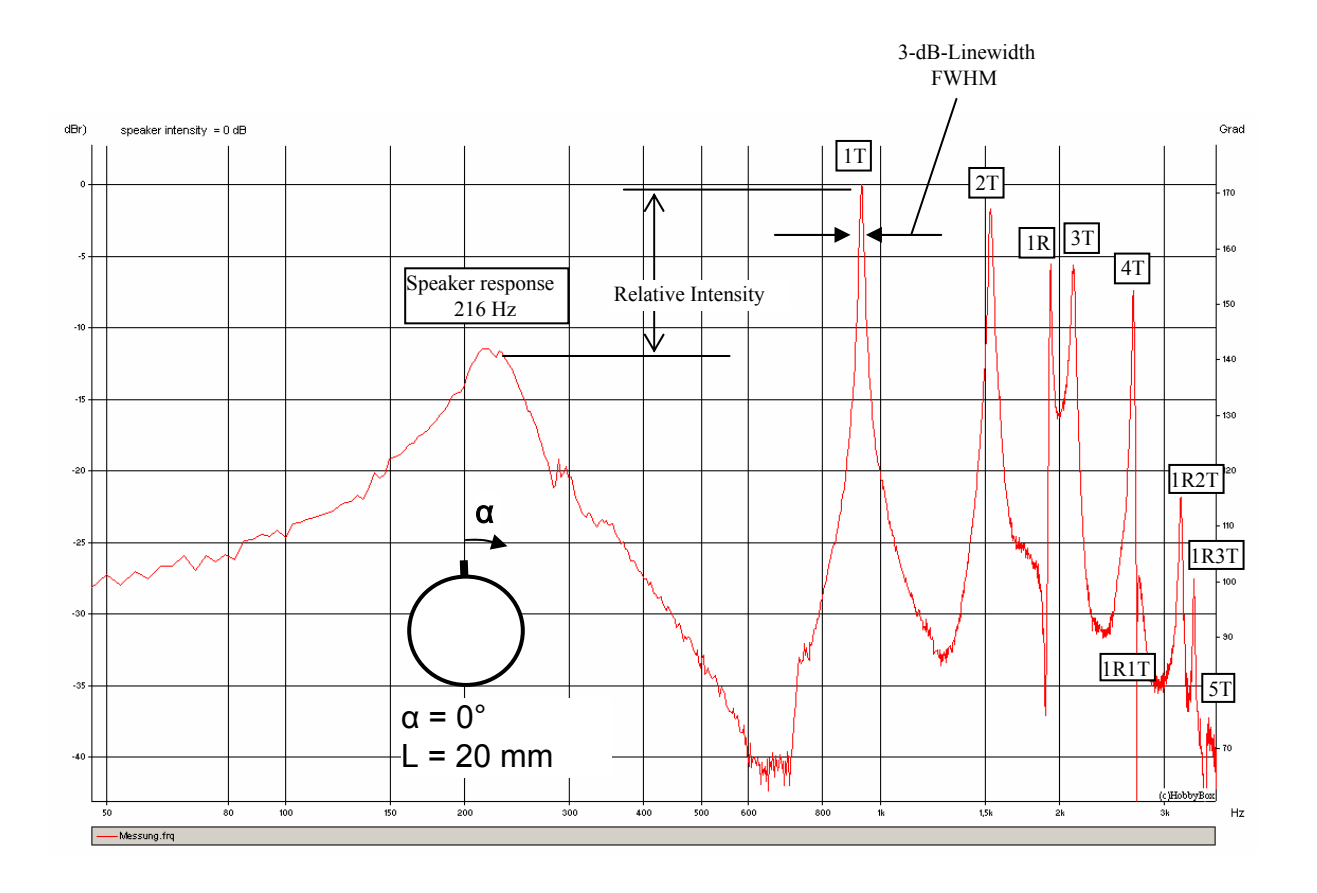


Experiments Corresponding to EADS Project AESTUS

– Case 0490-004 as example of state of the art



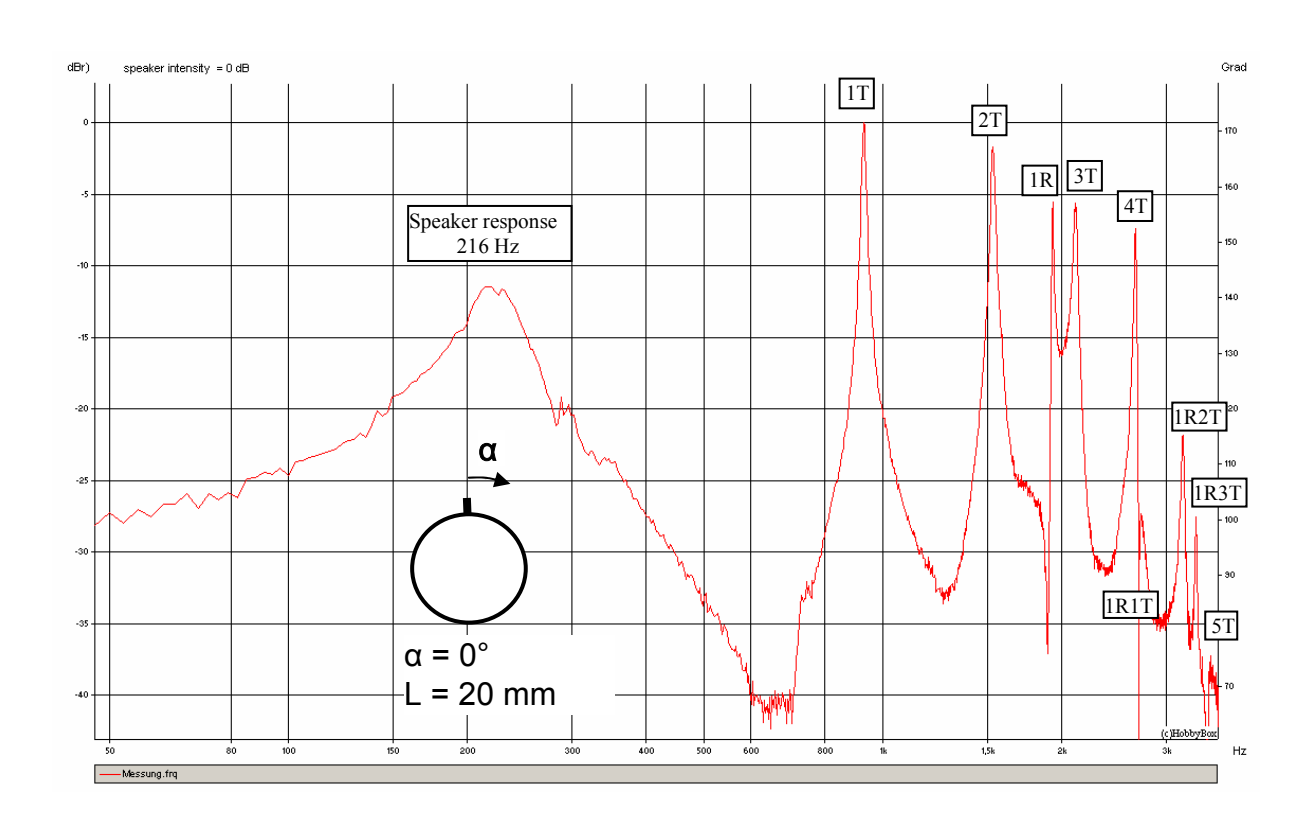
Microphone signal of decaying noise in the chamber



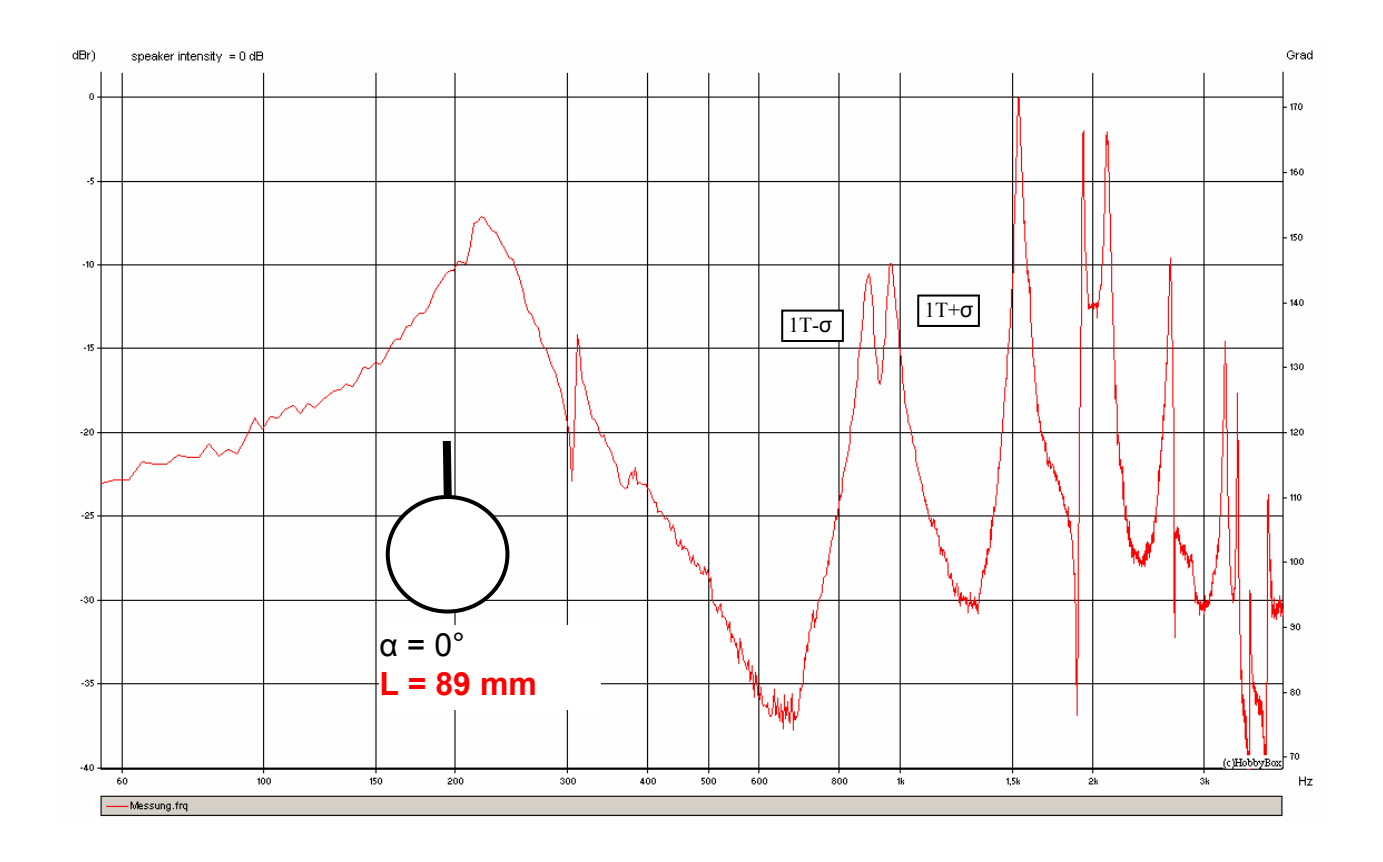
FFT analysis of microphone signal

| No. | n | m | $\alpha_{\sf nm}$ | Mode | Calculated frequency (Hz) | Measured frequency (Hz) |
|-----|---|---|-------------------|------|---------------------------------|----------------------------|
| 1 | 1 | 1 | 1.8410 | 1T | 919 | 930 |
| 2 | 2 | 1 | 3.0541 | 2T | 1525 | 1530 |
| 3 | 0 | 2 | 3.8318 | 1R | 1913 | 1910 |
| 4 | 3 | 1 | 4.2013 | 3T | 2097 | 2100 |
| 5 | 4 | 1 | 5.3175 | 4T | 2654 | 2660 |
| 6 | 1 | 2 | 5.3320 | 1R1T | 2661 | 2670 |
| 7 | 5 | 1 | 6.4160 | 5T | 3203 | 3210 |
| 8 | 2 | 2 | 6.7085 | 1R2T | 3349 | 3350 |
| 9 | 0 | 3 | 7.0155 | 2R | 3502 | 3500 |
| 10 | 6 | 1 | 7.5018 | 6T | 3745 | 3740 |
| 11 | - | - | - | 1L | 3920 | 3910 |
| 12 | 3 | 2 | 8.0146 | 1R3T | 4001 | not found |
| 13 | - | - | - | 1L1T | 4026 | 4010 |
| 14 | - | - | - | 1L2T | 4206 | 4200 |
| 15 | 1 | 3 | 8.5363 | 2R1T | 4261 | very weak |
| 16 | 7 | 1 | 8.5781 | 7T | 4282 | not found |
| 17 | - | - | - | 1L1R | 4362 | very weak |
| 18 | - | - | - | 1L3T | 4446 | 4430 |
| 19 | 4 | 2 | 9.2825 | 1R4T | 4634 | 4620 |
| 20 | | | - | 1L4T | 4734 | 4720 |
| 21 | 8 | 1 | 9.6475 | 8T | 4816 | 4820 |

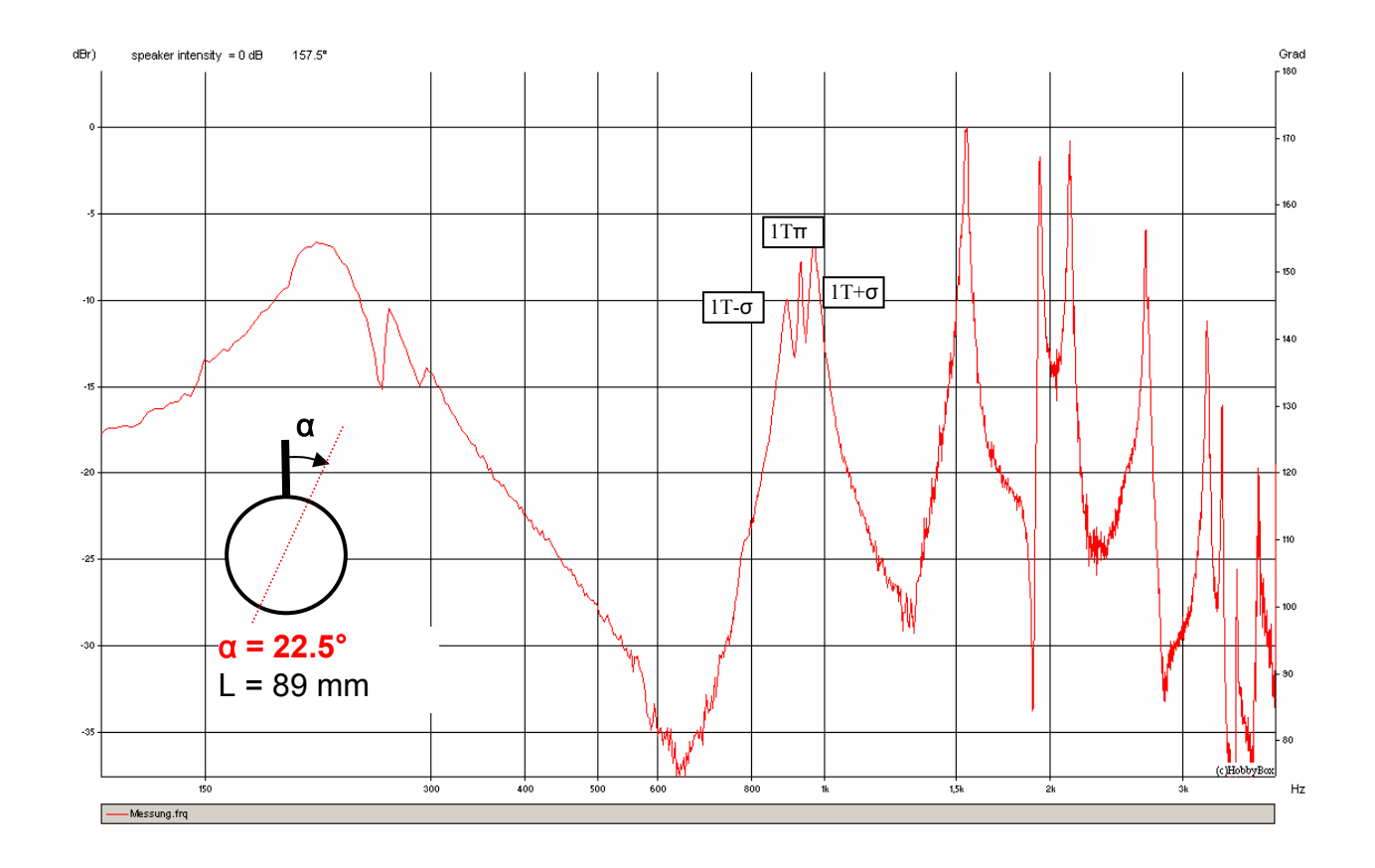
Optimale Winkelposition



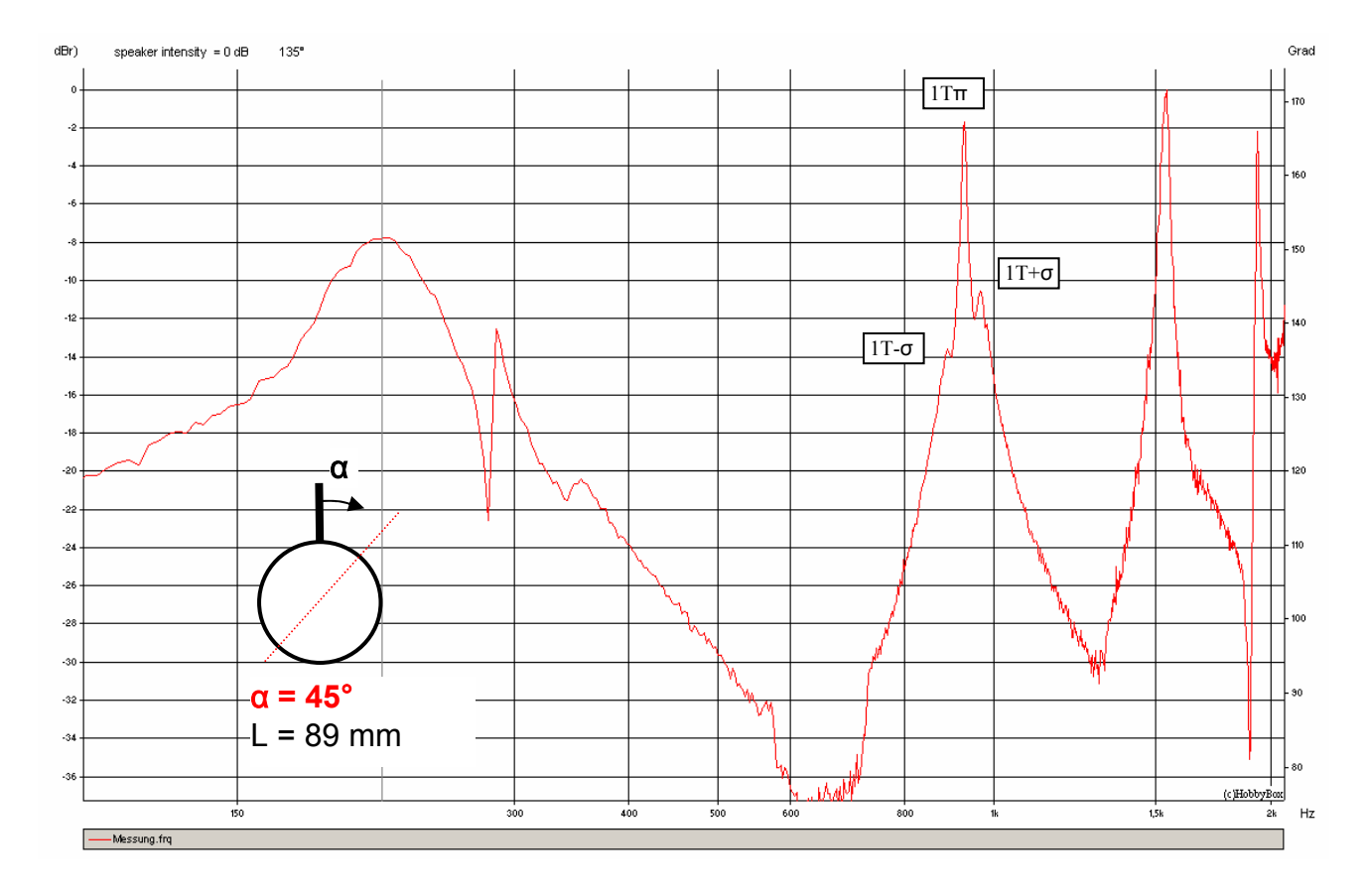
1 Resonator, Resonator length << anti-crossing length



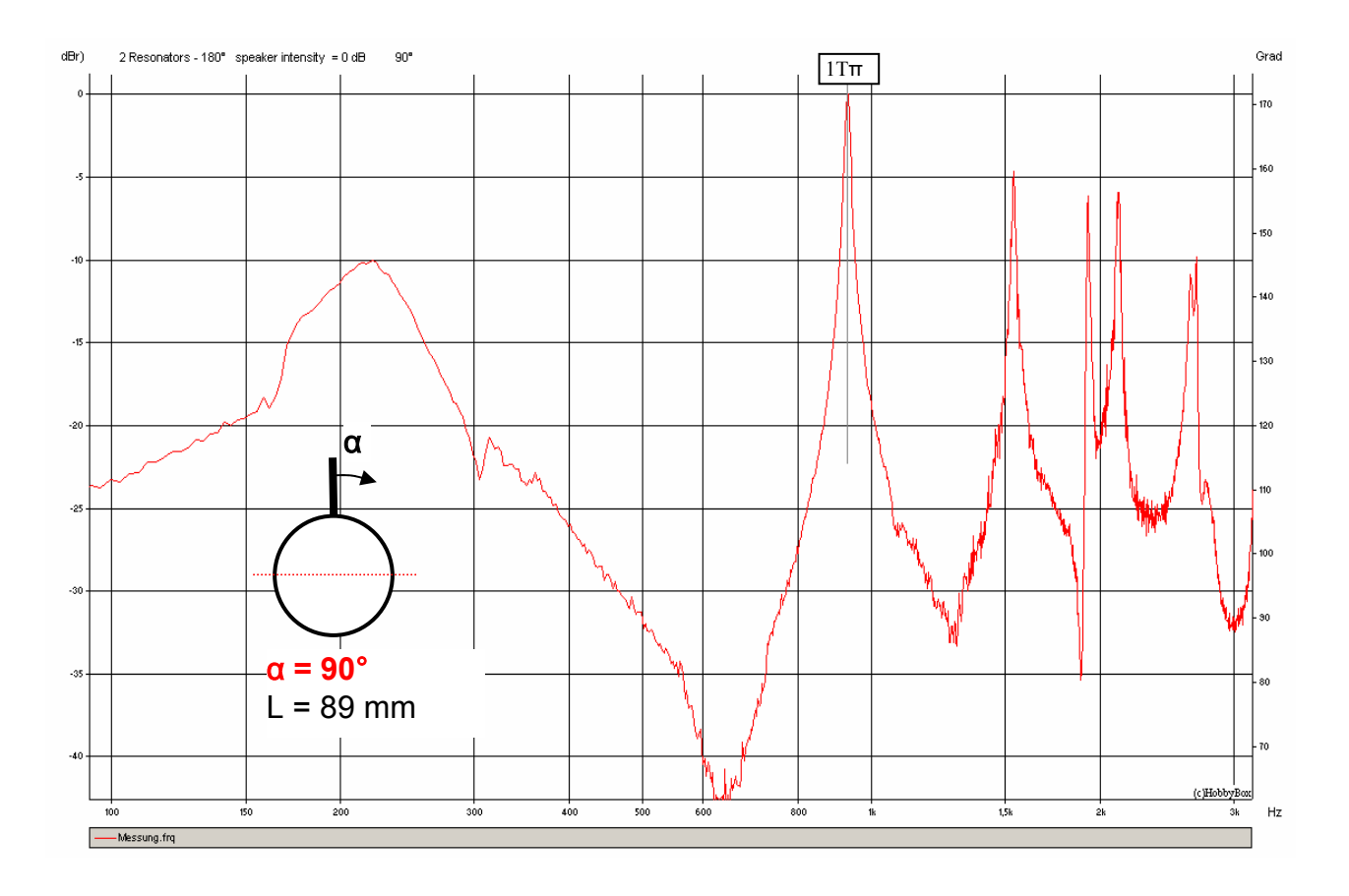
1 Resonator Resonator length = anti-crossing length



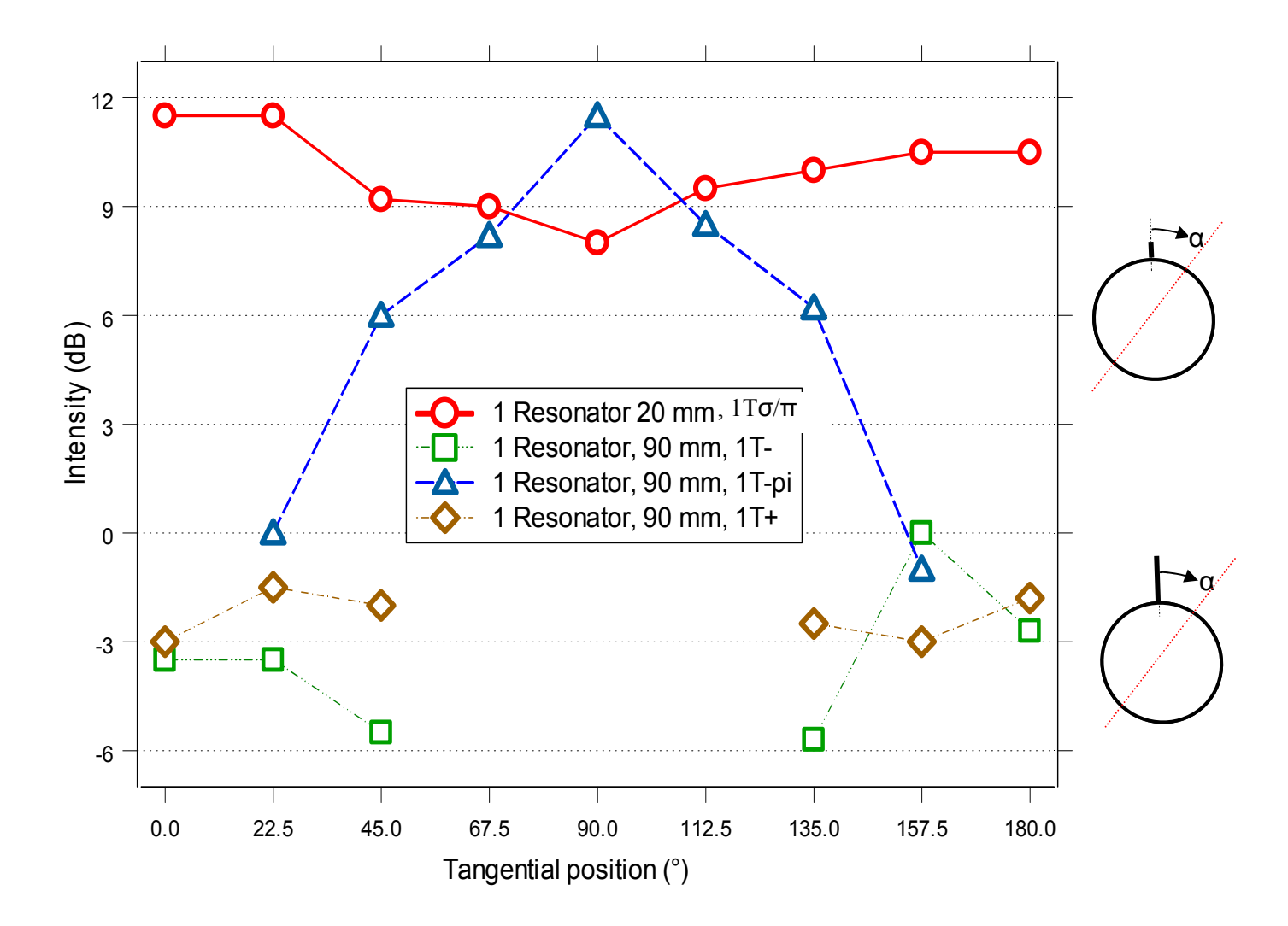
1 Resonator Resonator length = anti-crossing length

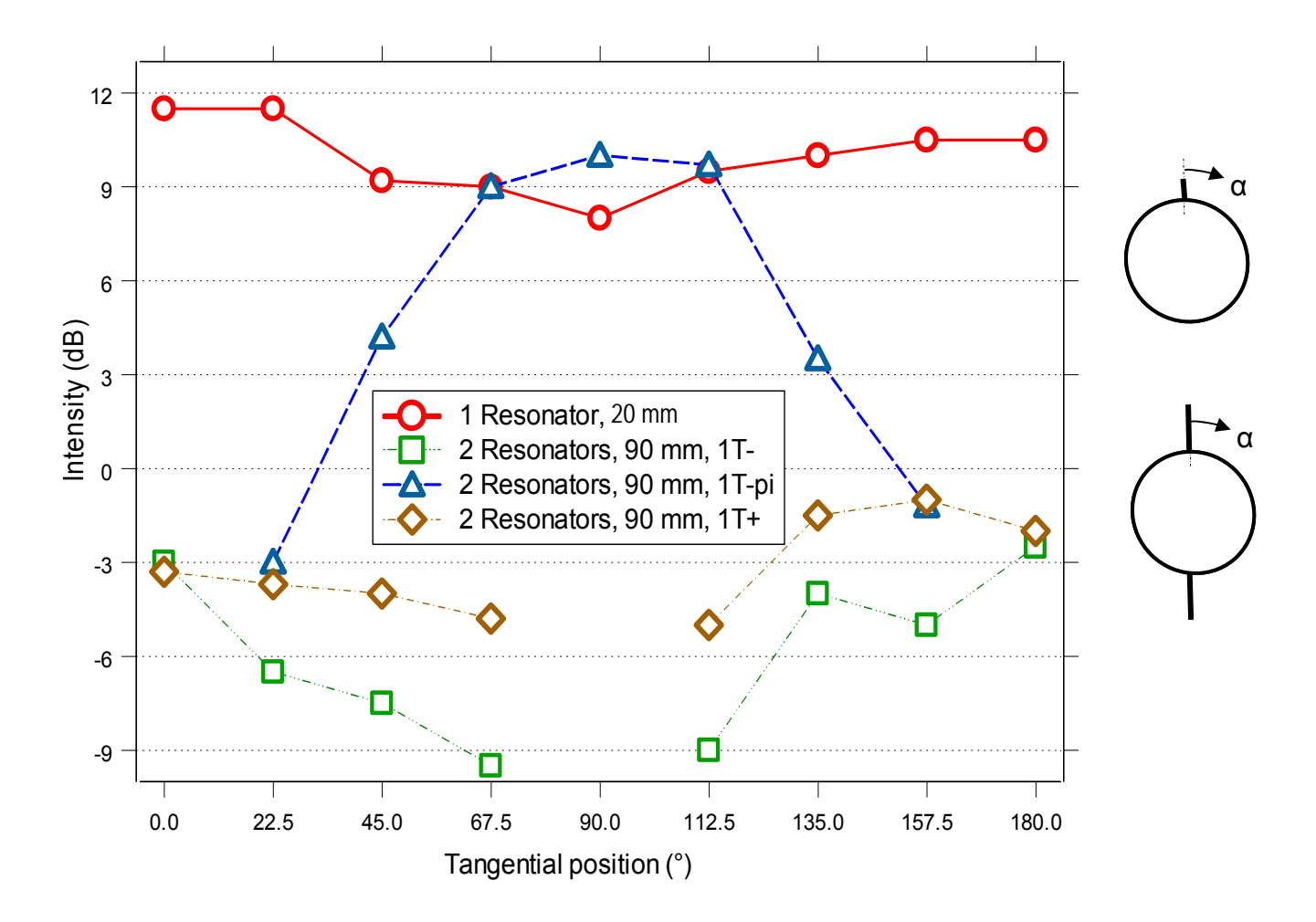


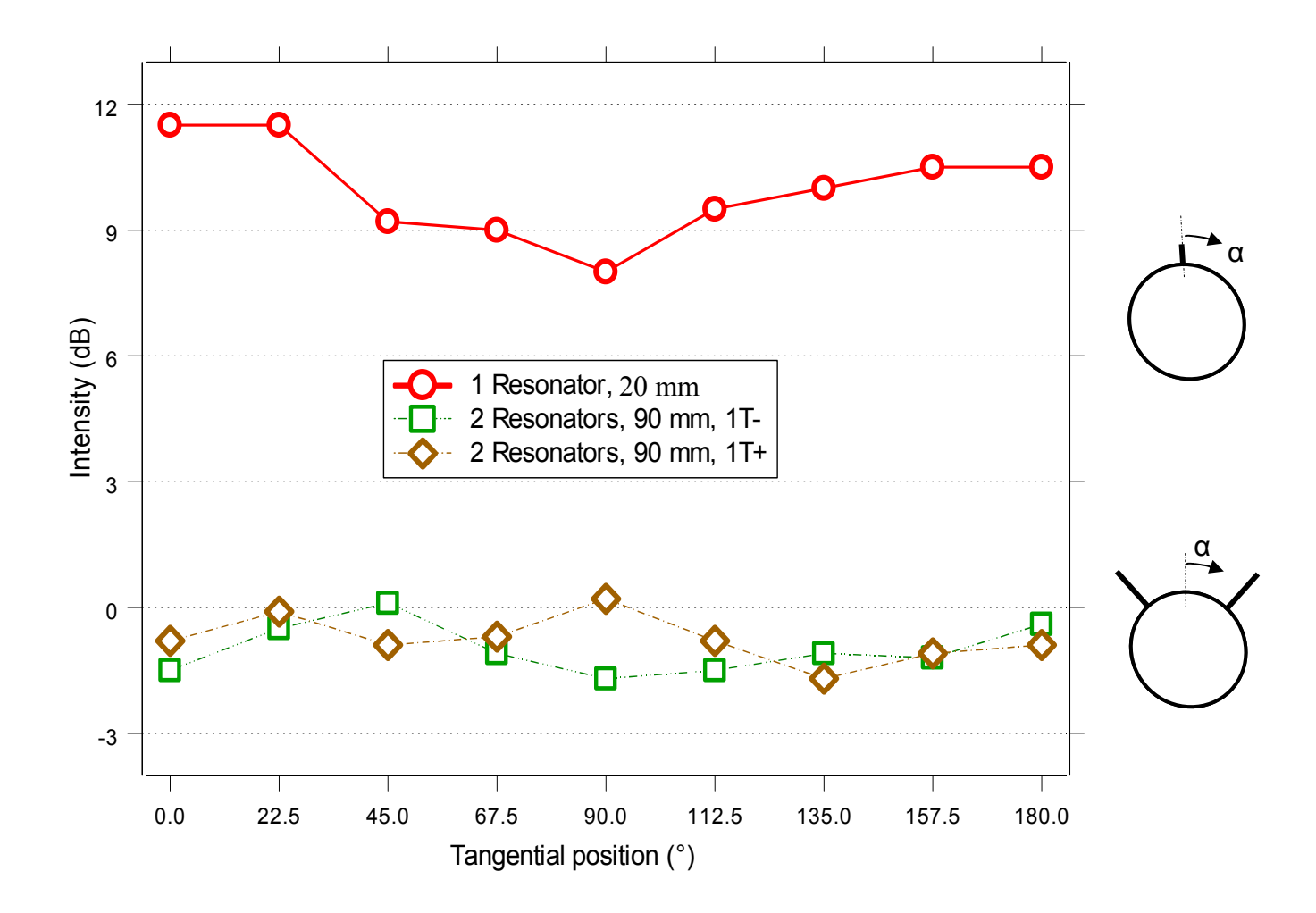
1 Resonator Resonator length = anti-crossing length

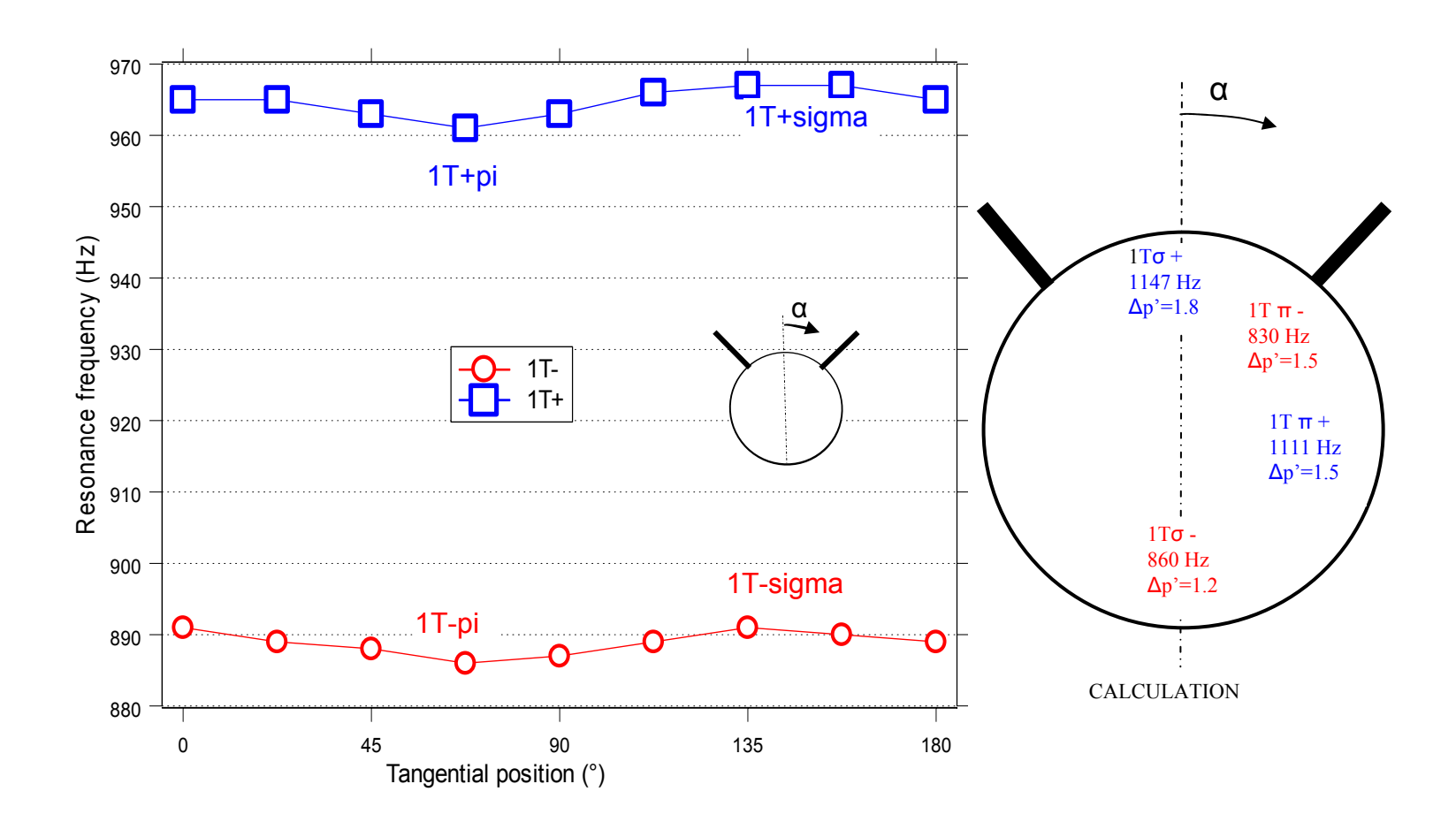


1 Resonator
Resonator length = anti-crossing length







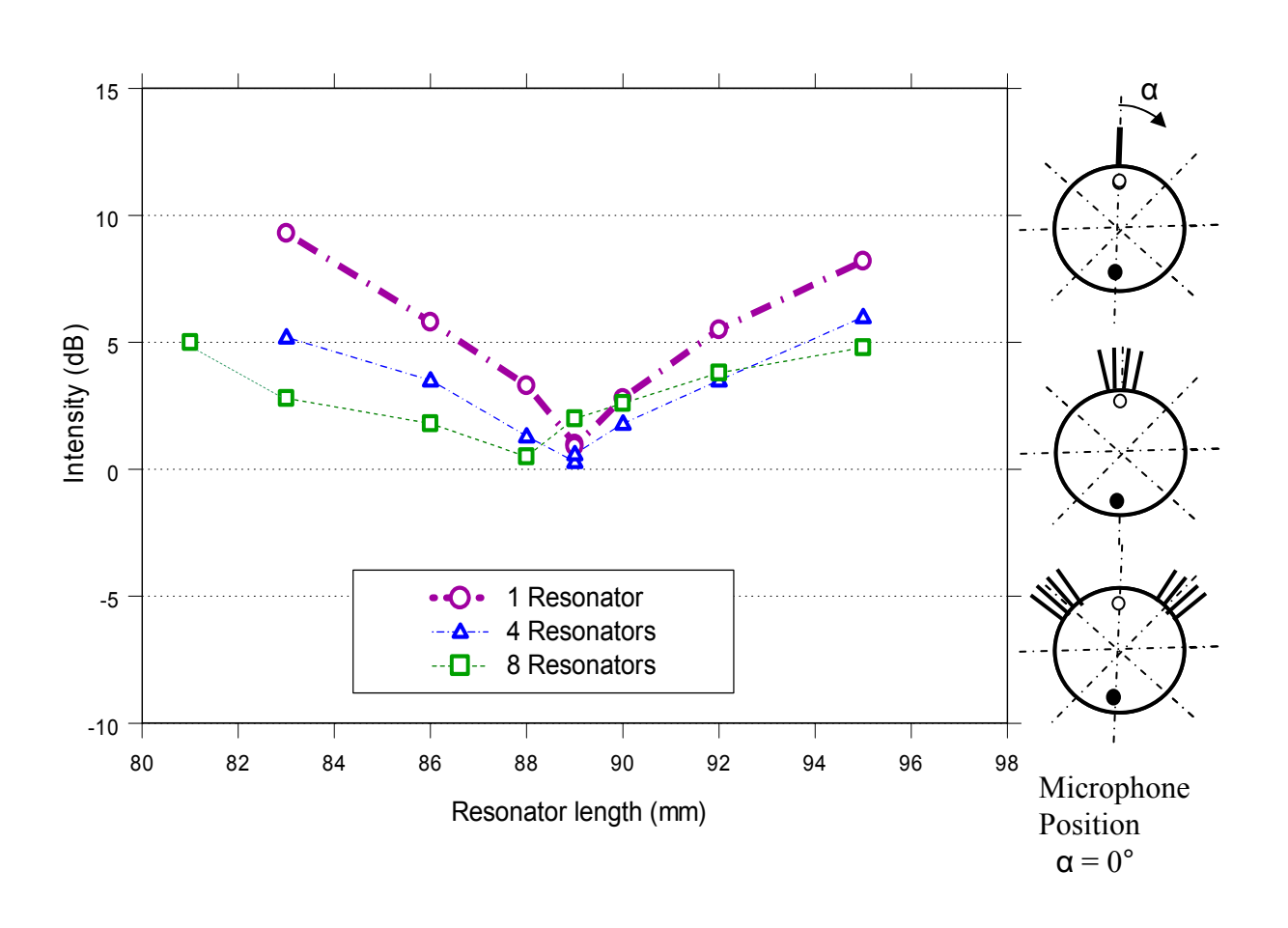


Optimale Winkelposition Zusammenfassung

Je Tangentialmode genügen zwei Resonatoren, um am ganzen Umfang der Brennkammer einen wirksamen Schutz zu bieten, wenn deren Winkelverhältnis 360°/(4·n) beträgt, mit n als Ordnung des Tangentialmodes.

Einfluss der Änderung der Schallgeschwindigkeit

Optimale Anzahl der Resonatoren



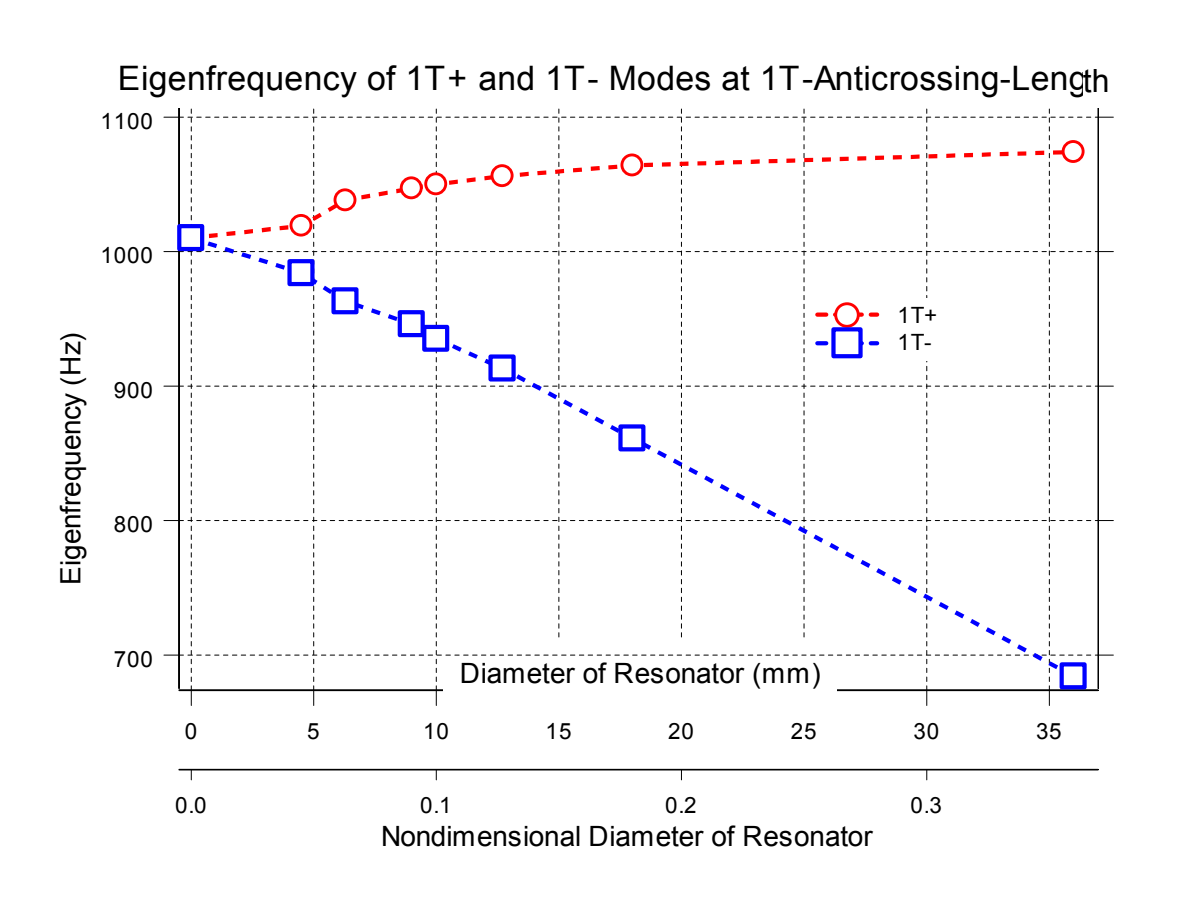
Optimale Anzahl der Resonatoren Zusammenfassung

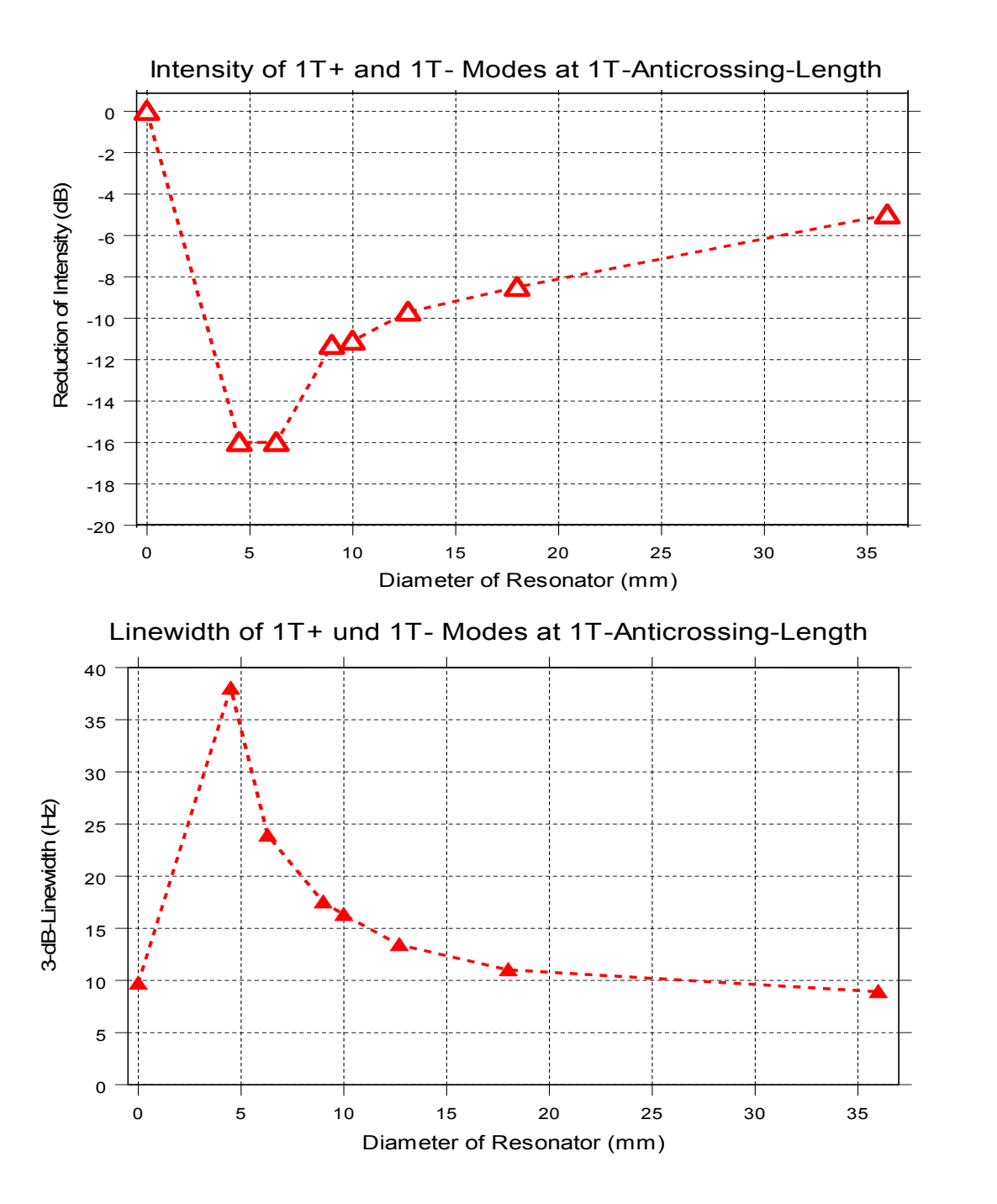
Bei optimaler Resonatorlänge wird die Schutzwirkung durch Erhöhung der Anzahl der Resonatoren nicht verbessert.

Durch Erhöhung der Anzahl der Resonatoren wird die Resonatoranordnung weniger anfällig gegen Änderung der Schallgeschwindigkeit.

Einfluss der Änderung der Schallgeschwindigkeit

Optimaler Resonatordurchmesser

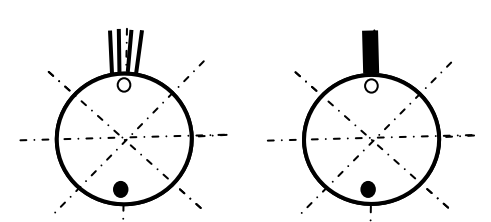




Optimaler Resonatordurchmesser Vorläufiges Ergebnis Zusammenfassung

Durch Erhöhung des Resonatordurchmessers wird die Resonatoranordnung weniger anfällig gegen Änderung der Schallgeschwindigkeit – dabei verringert sich die Dämpfungswirkung der Resonatoren mit Zunahme des Durchmessers.

Kleiner Resonatordurchmesser – gute Dämpfung in einem sehr schmalen Schallgeschwindigkeitsbereich.

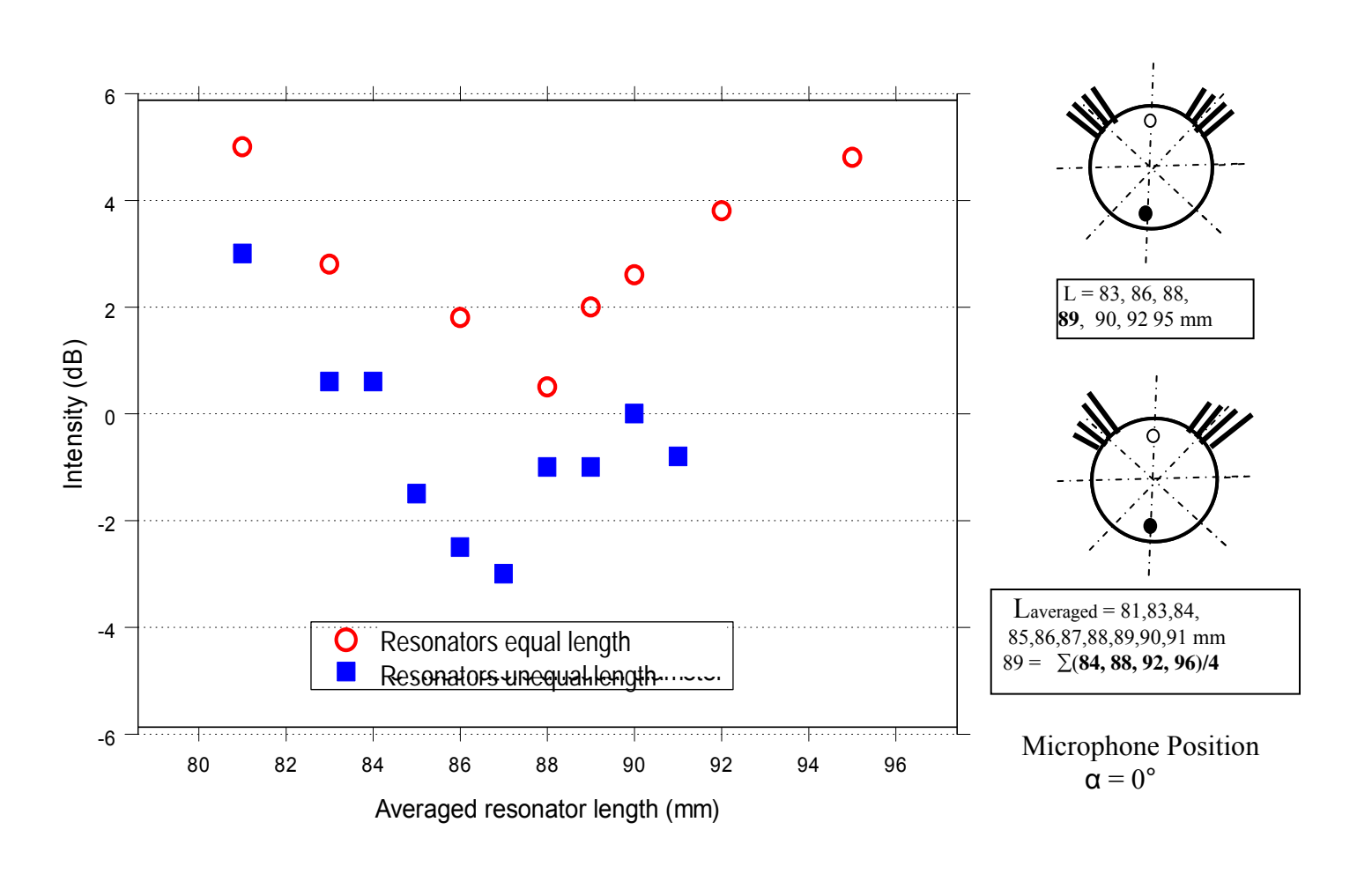


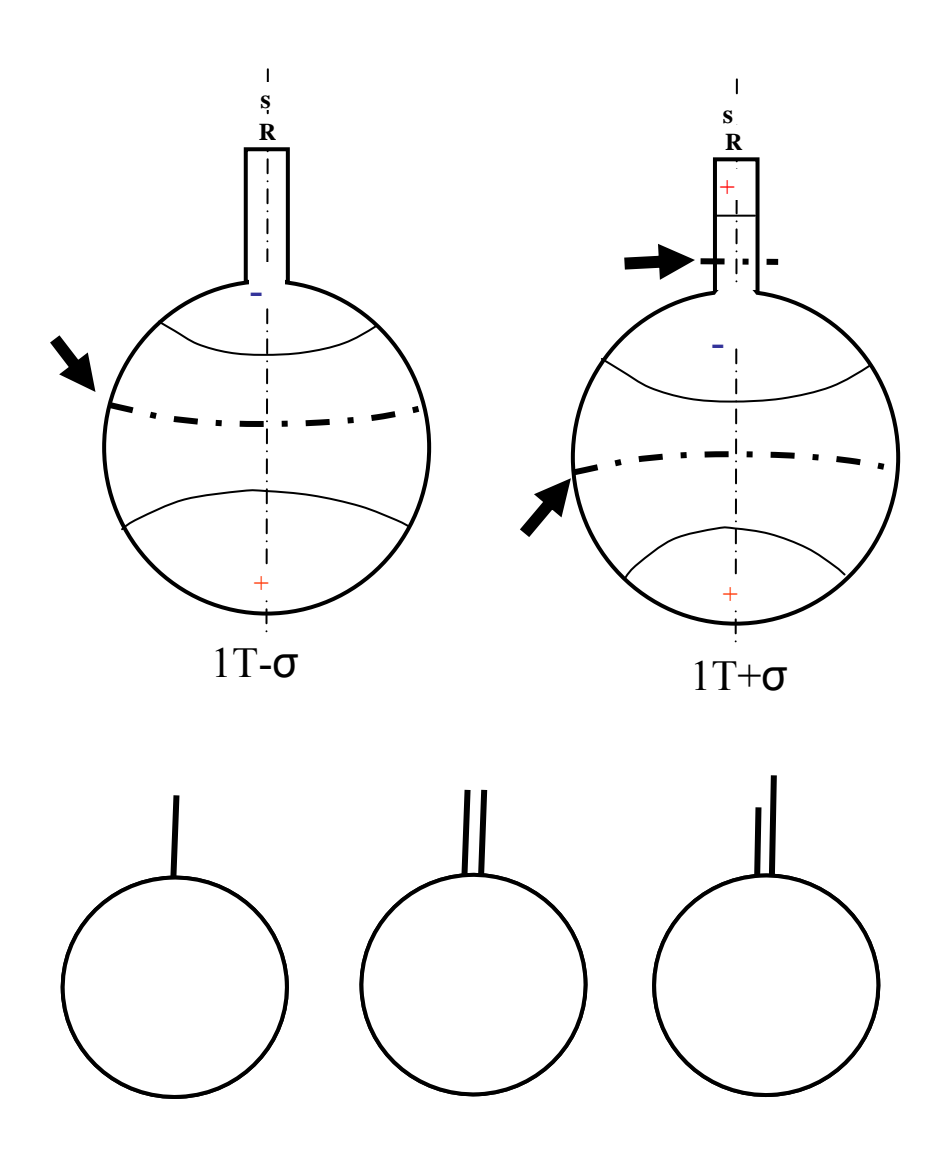
Wird ein Resonator mit großem Durchmesser durch mehrere dicht beieinander stehende Resonatoren gleicher Gesamtfläche ersetzt,

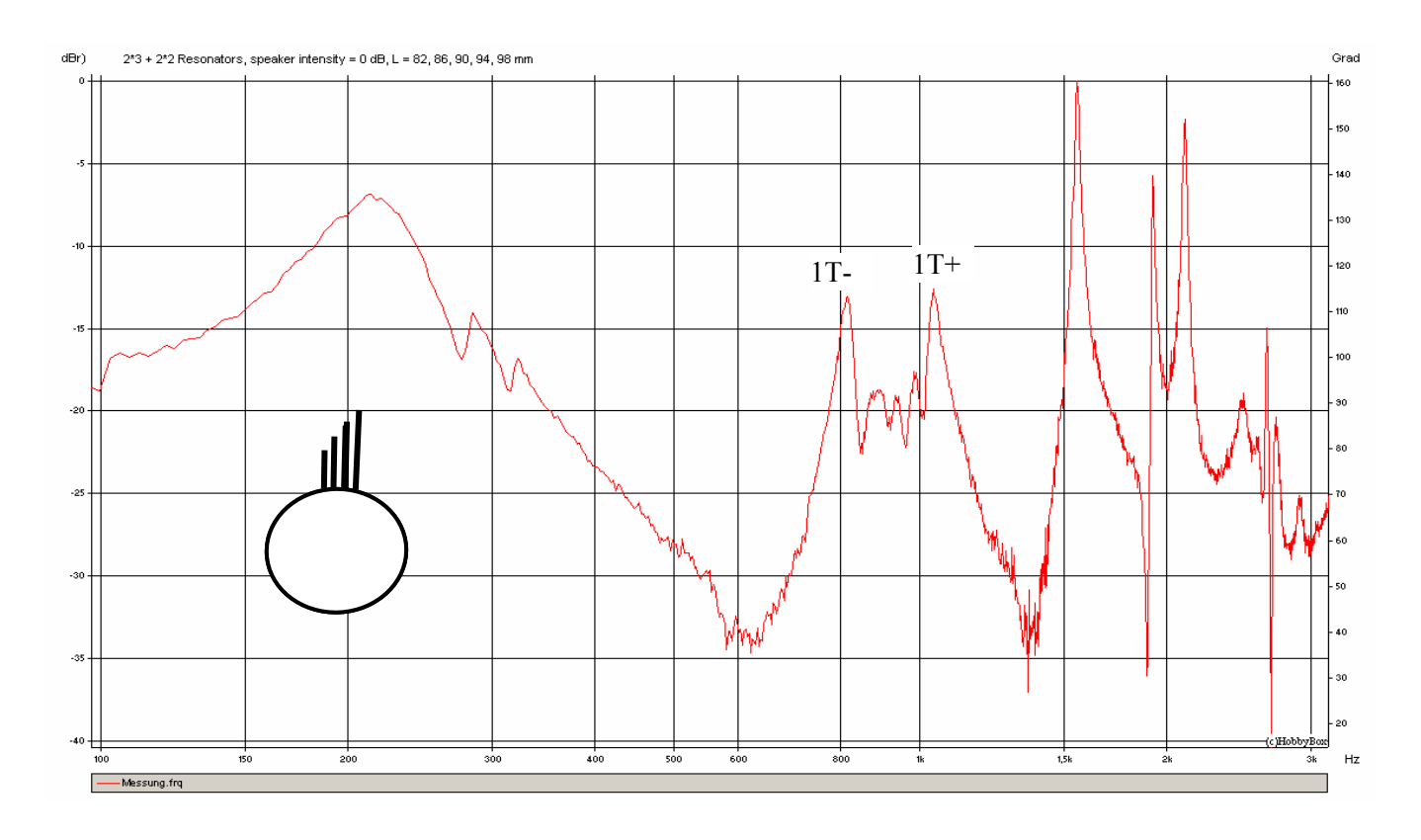
ändert sich weder die Frequenz der Moden noch die Robustheit der Brennkammer gegen Änderung der Schallgeschwindigkeit. Die Dämpfung hingegen ist kleiner bei einem Resonator mit großem Durchmesser.

Einfluss der Änderung der Schallgeschwindigkeit

Optimale Längenabstufung der Resonatoren







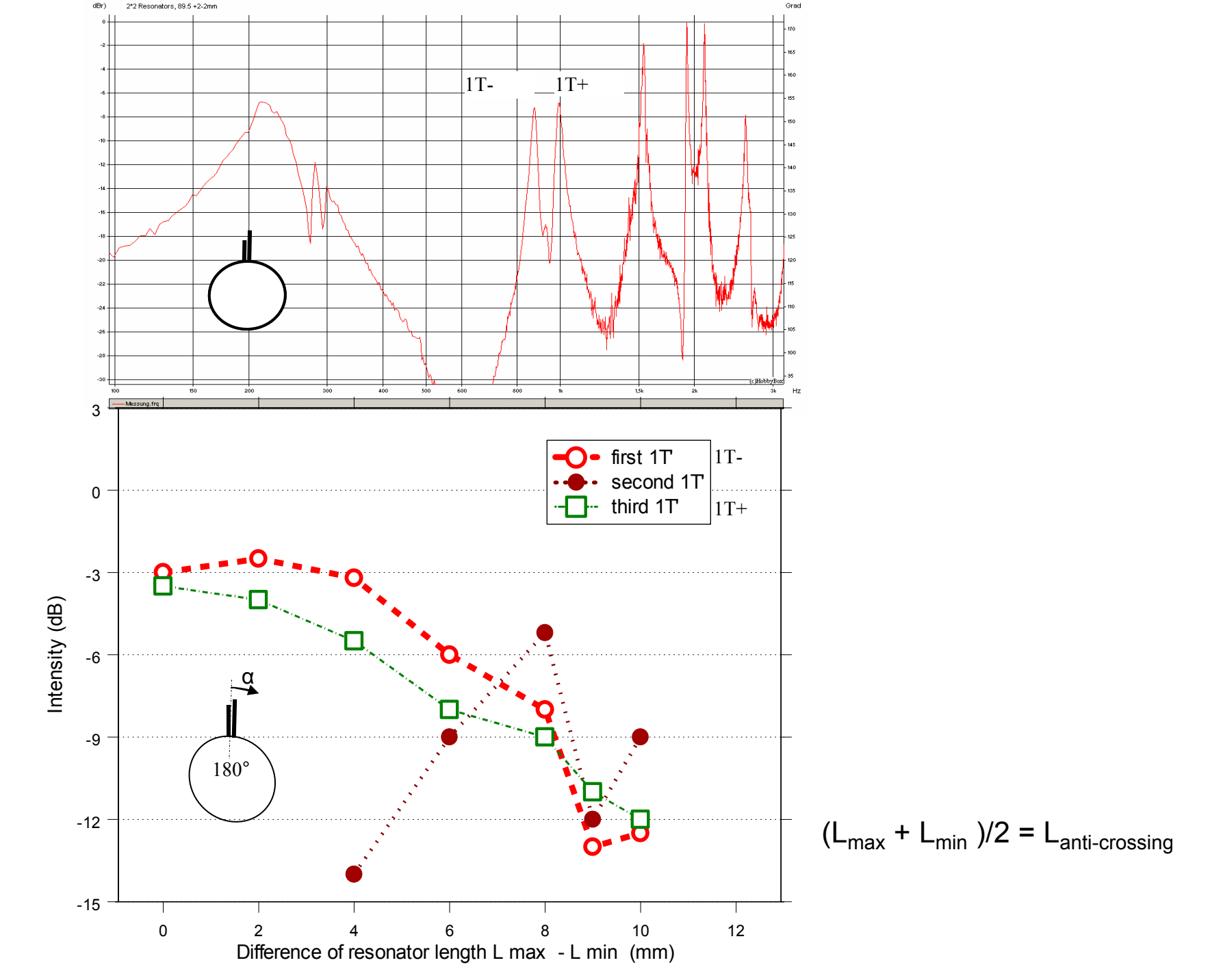
$$\sum L/4 = L_{anti-crossing}$$

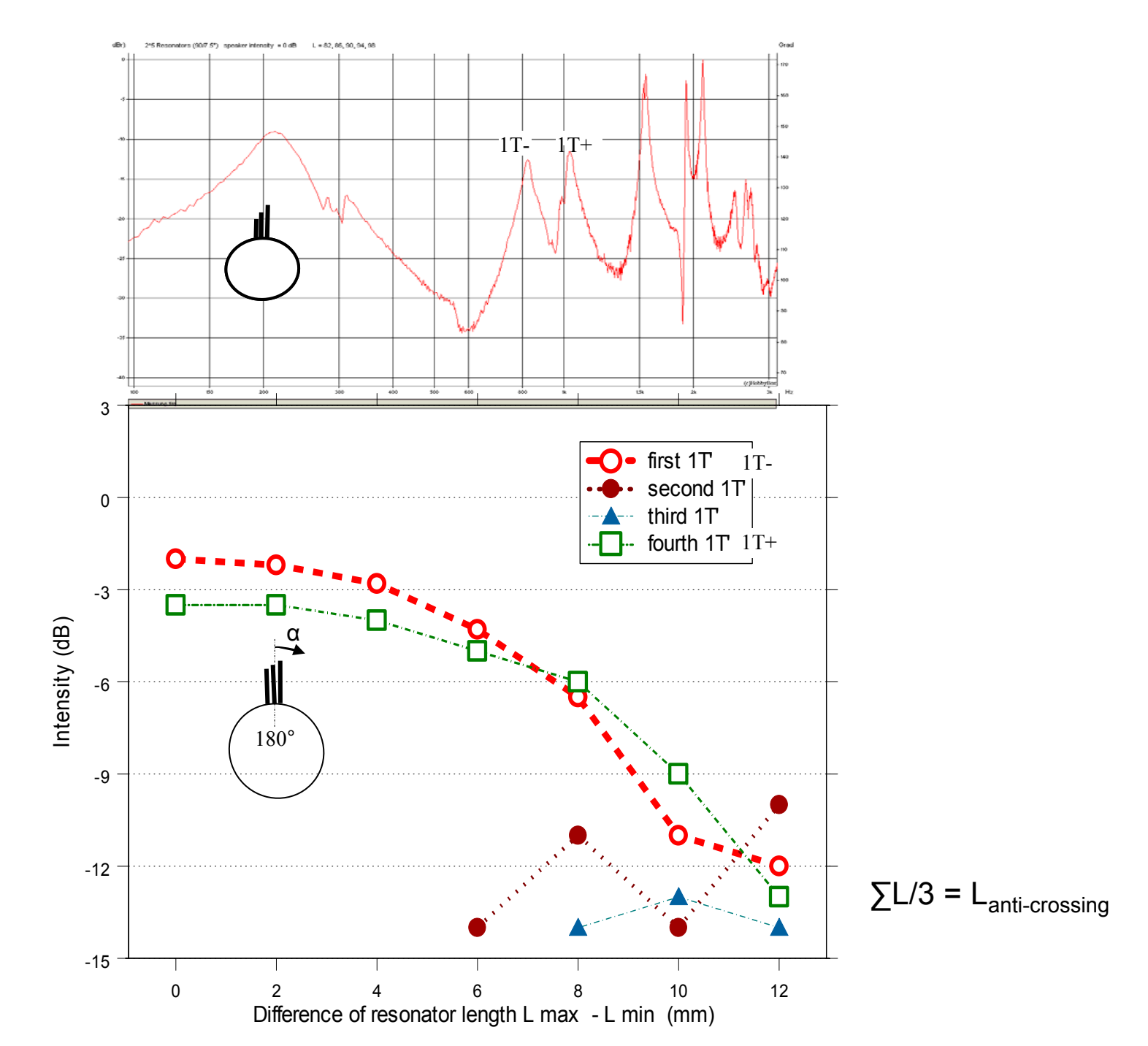
$$(L_{max} + L_{min})/2 = L_{anti-crossing}$$

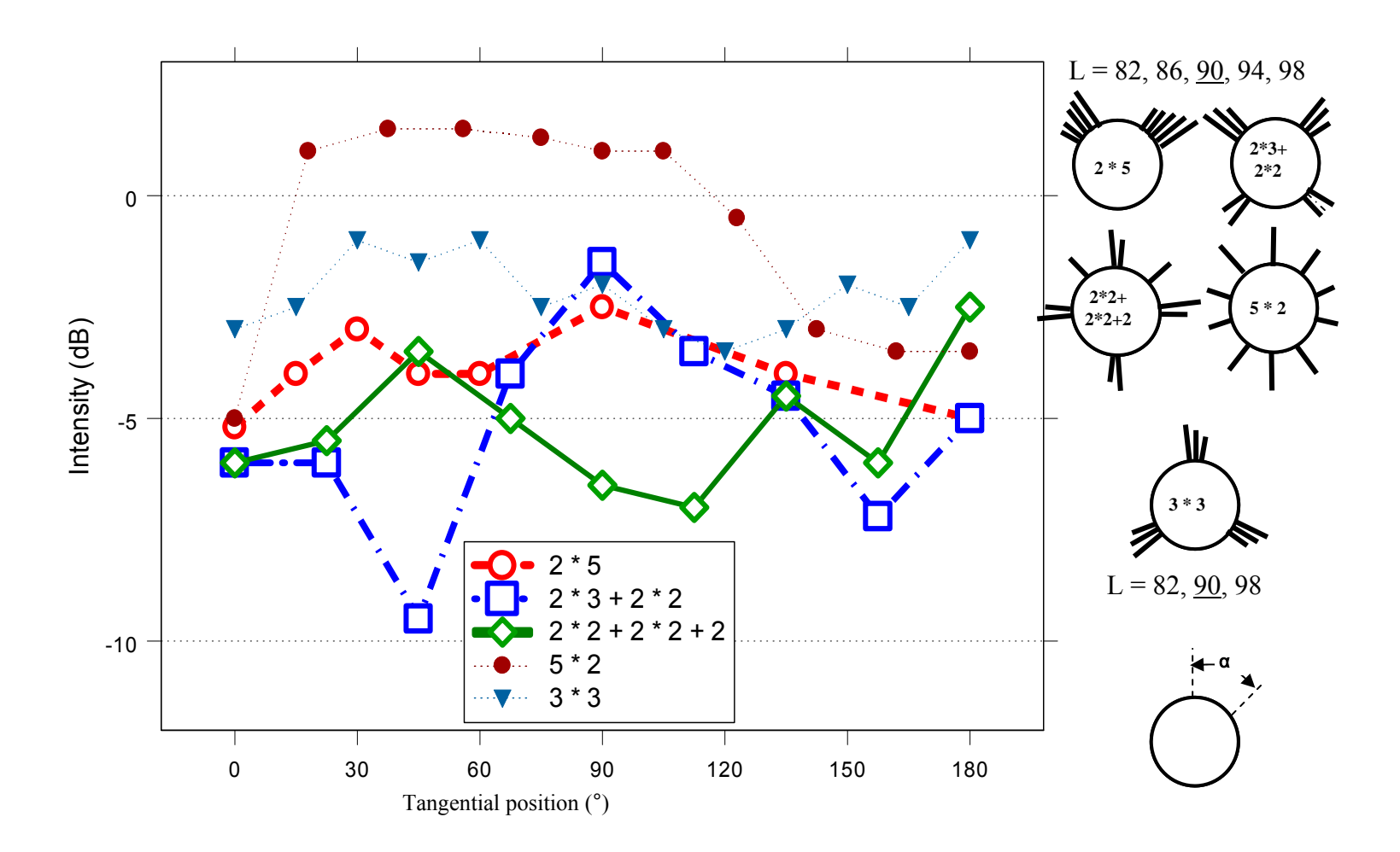
$$(L_{max} - L_{min}) = 12$$

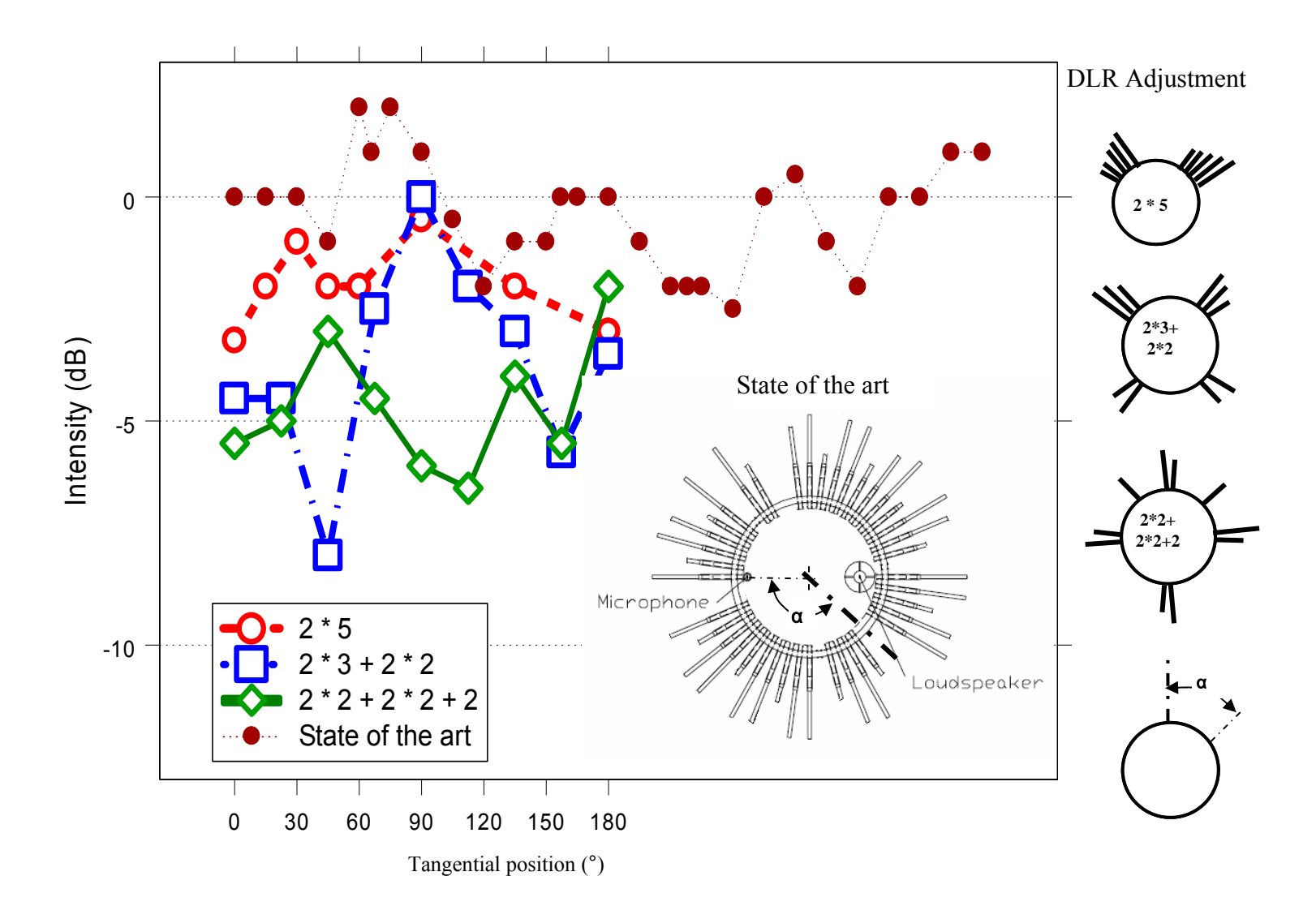
$$(L_{max} - L_{min})/(4-1) = 4 \text{ mm}$$

4 mm Längenabstufung ist nicht optimal. Optimal wäre $\Delta L > 4$ mm.







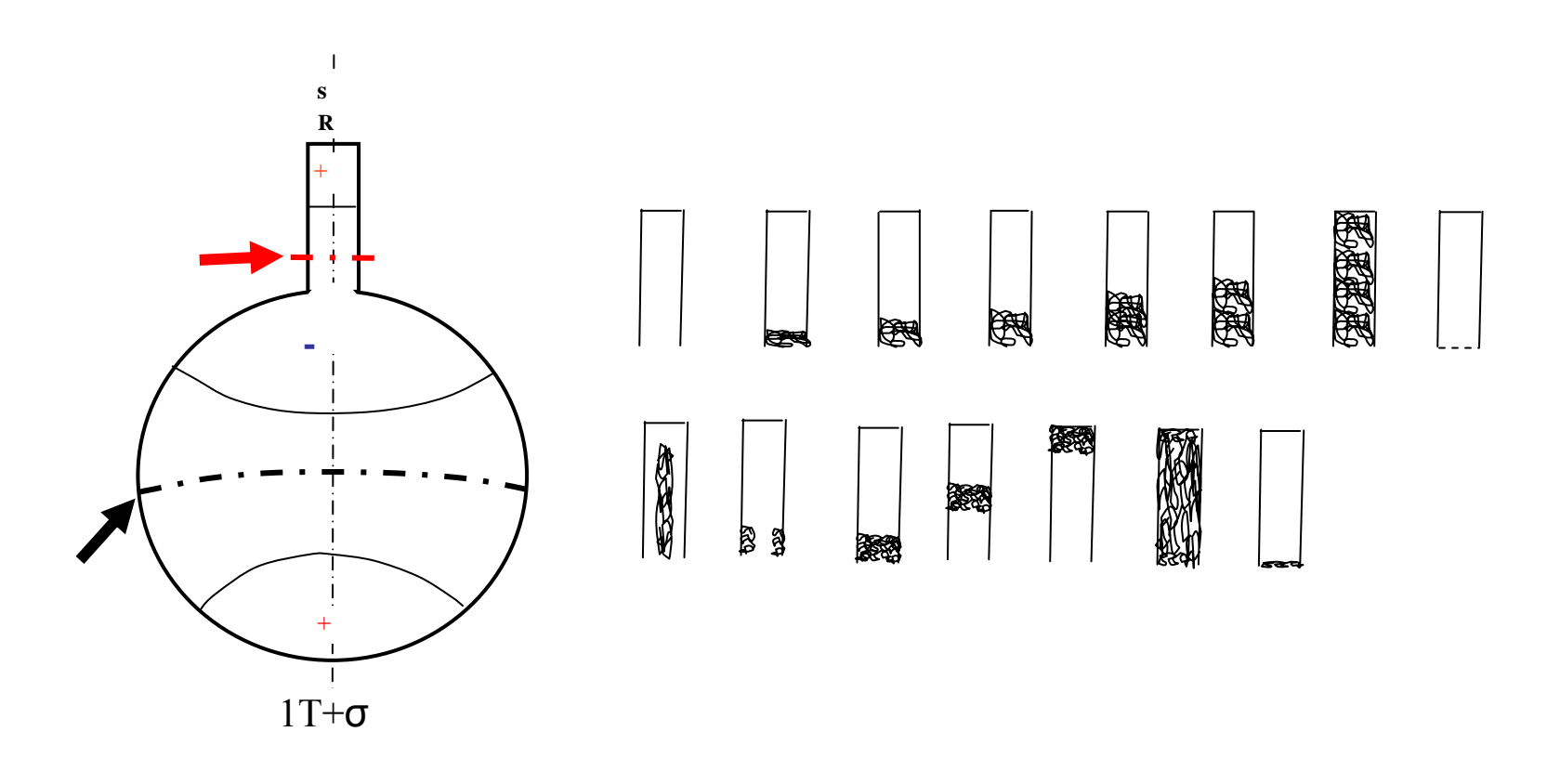


Optimale Längenabstufung Zusammenfassung

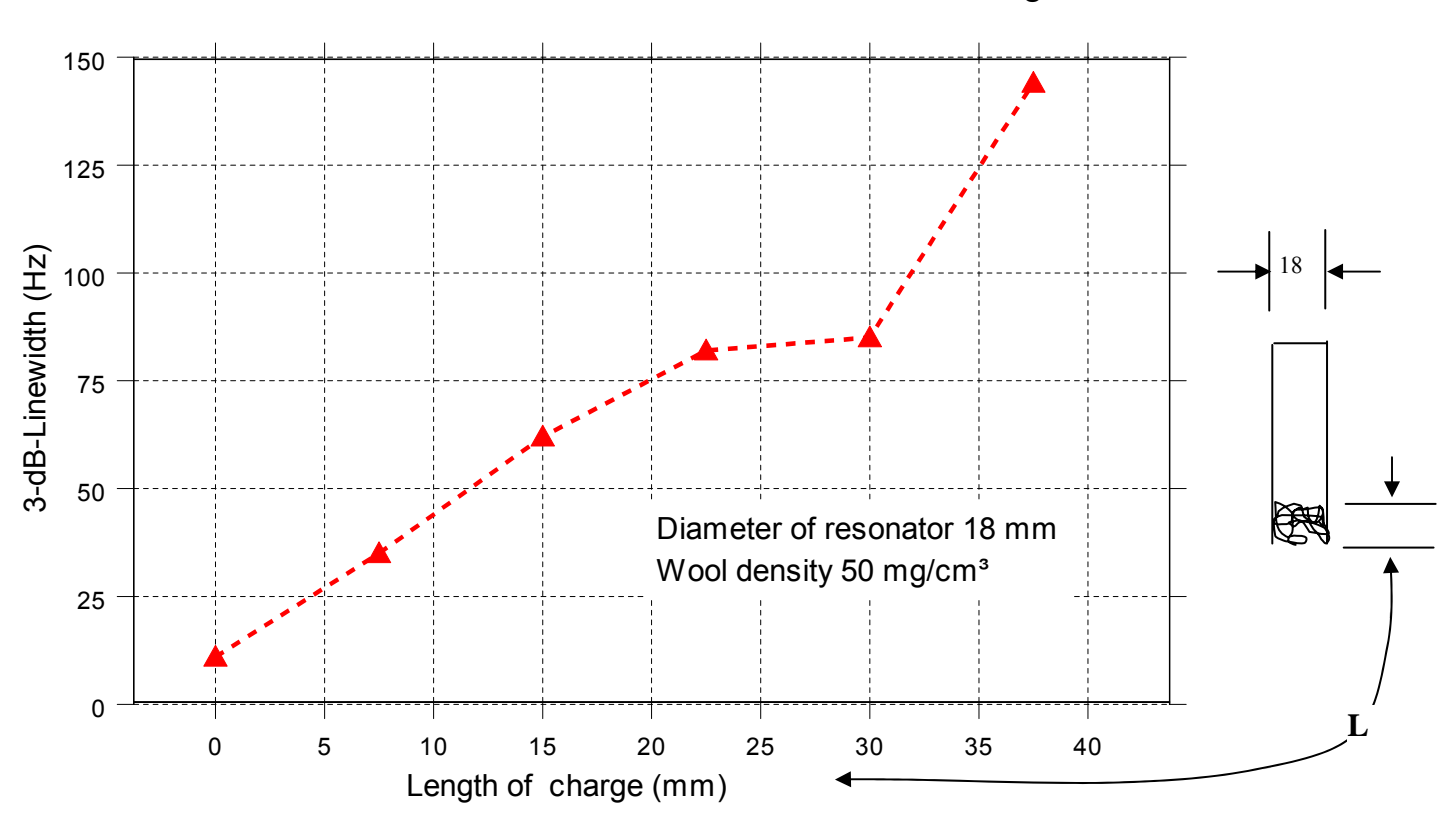
Durch Kombination der optimierten Winkelanordnung und der Längenabstufung, beziehungsweise durch sinnvolle Gruppenbildung der Resonatoren kann man die Dämpfungswirkung der Resonatoren erhöhen und gleichzeitig die Brennkammer gegen Änderung der Schallgeschwindigkeit unempfindlicher machen.

Eine möglichst gleichmäßige Anordnung der Resonatoren am Umfang der Brennkammer ist nicht optimal. Ein Tangentialmode kann mit zwei Resonatorengruppen optimal unterdrückt werden, deren Winkelverhältnis 360°/(4·n) beträgt, mit n als Ordnung der Tangentialmodes.

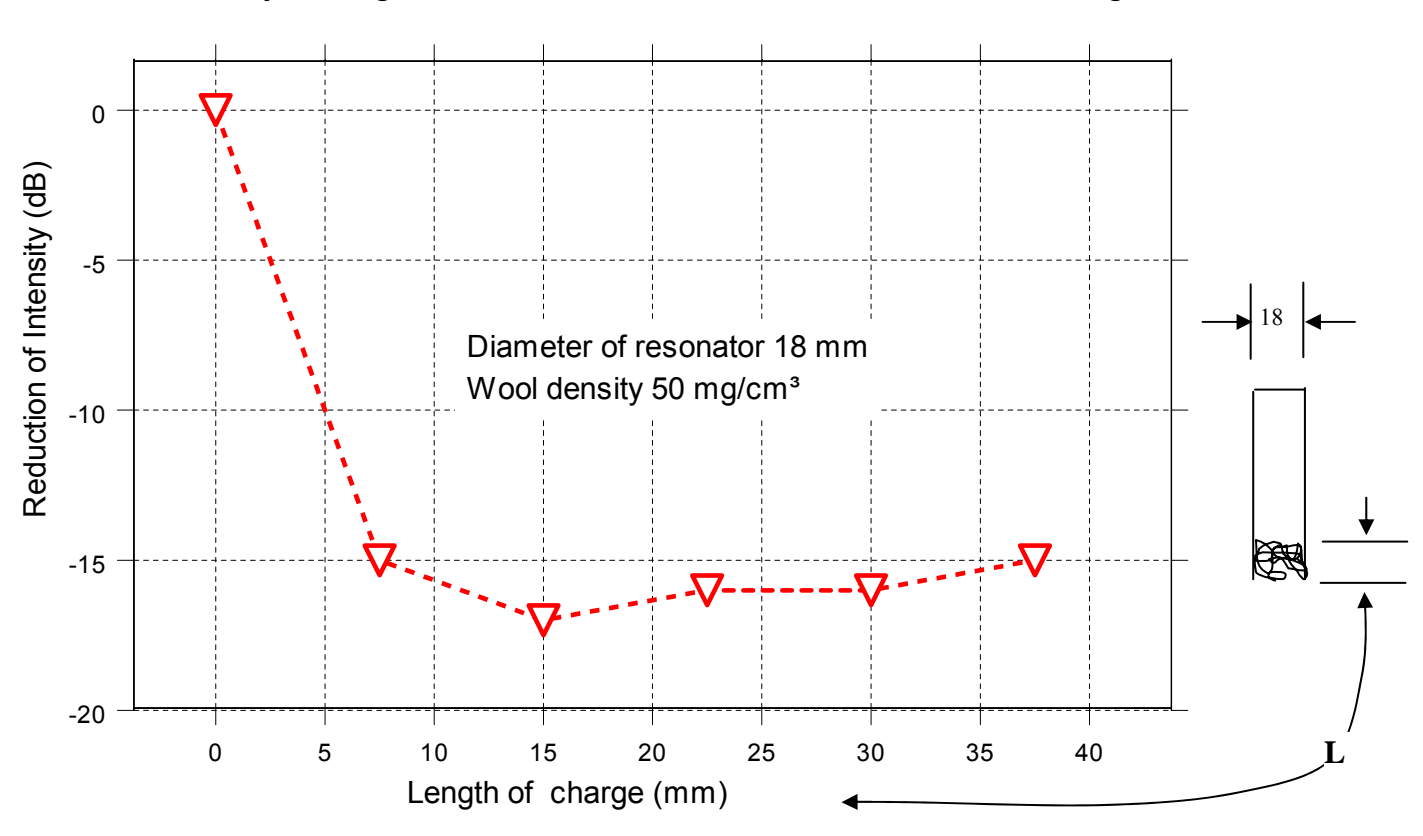
Weitere Möglichkeiten der Dämpfungserhöhung der Resonatoren Resonatoren mit turbulenzfördernden Elementen

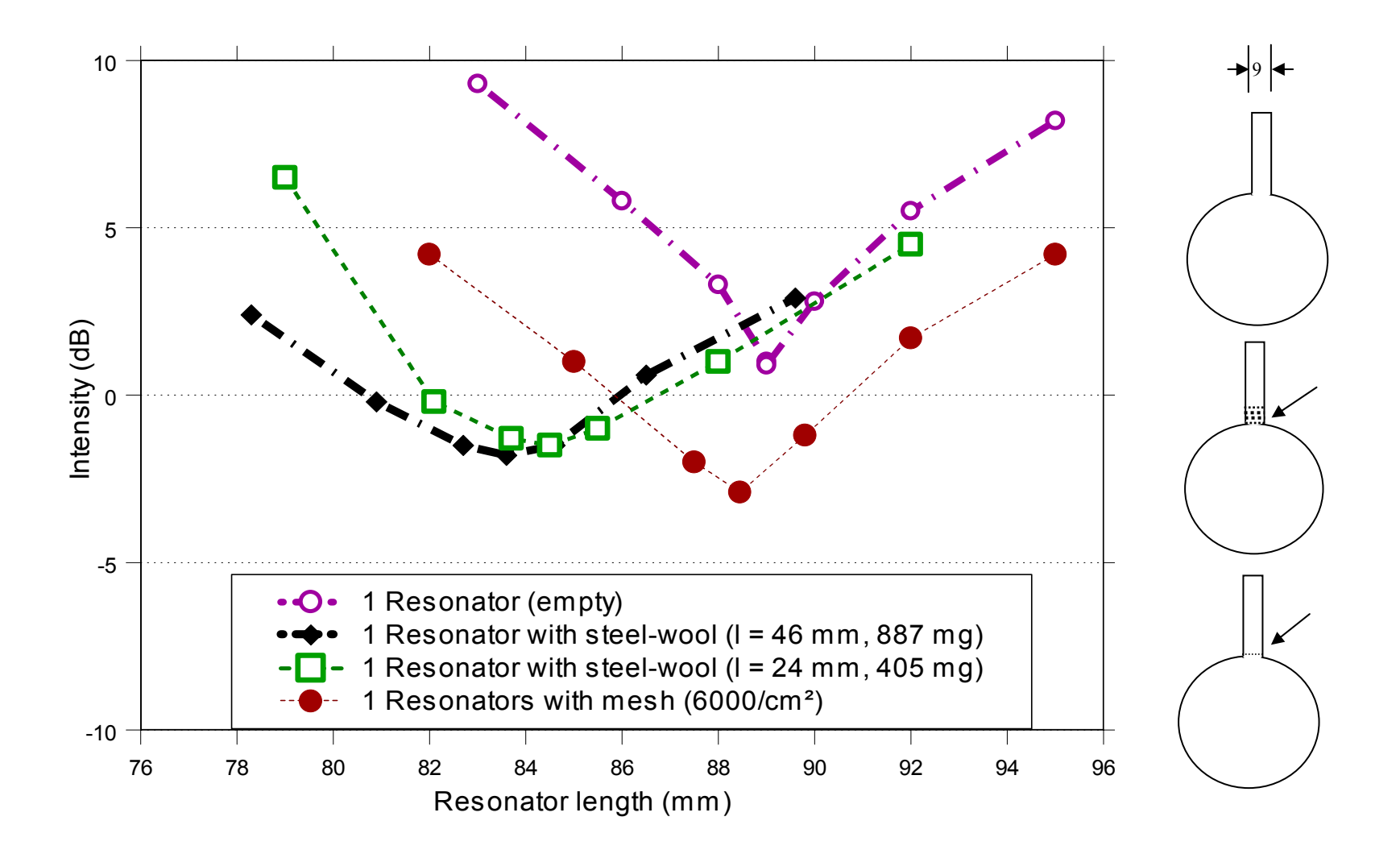


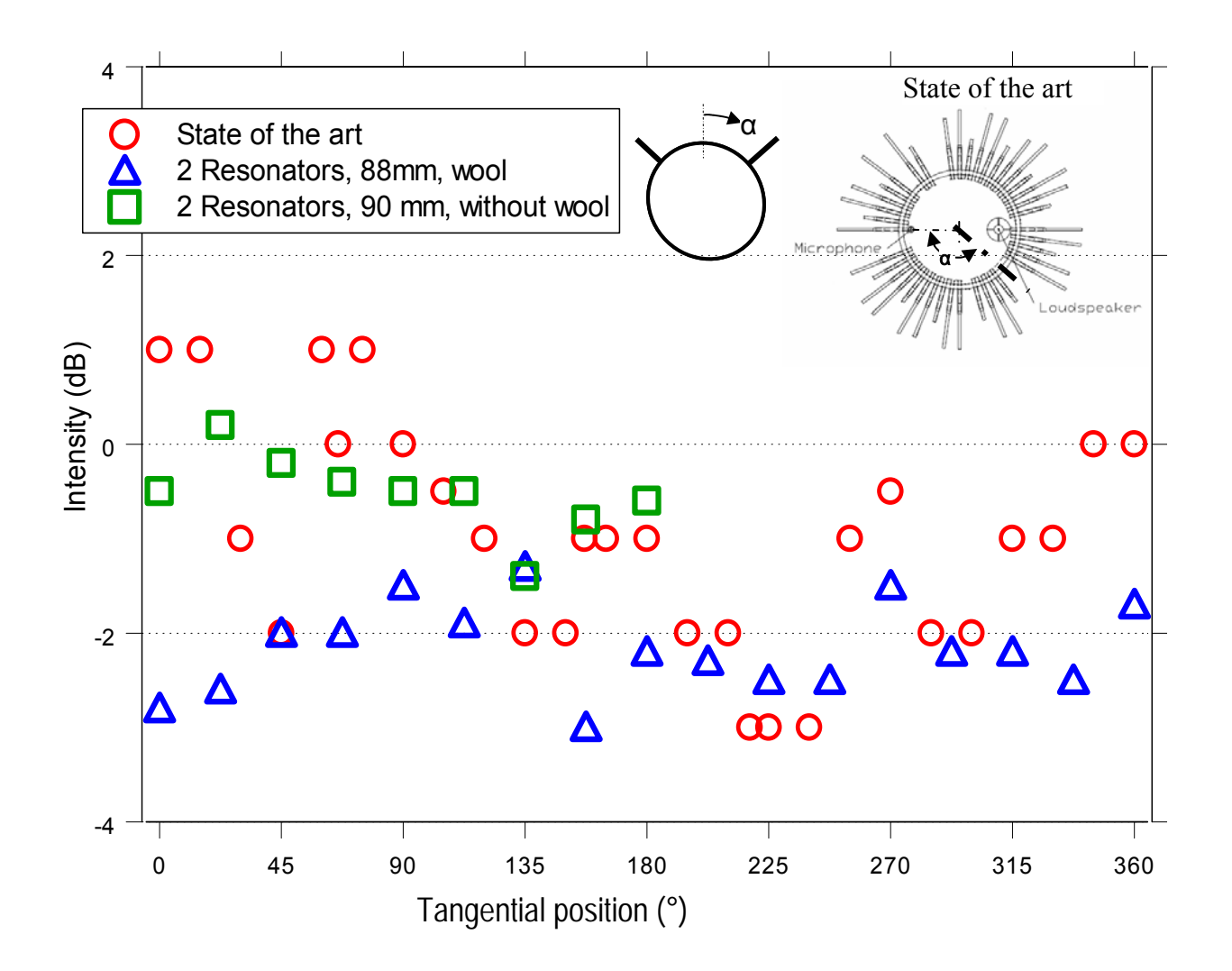
Linewidth of 1T+ and 1T- Modes at 1T-Anticrossing



Intensity change of 1T+ and 1T- Modes at 1T-Anticrossing







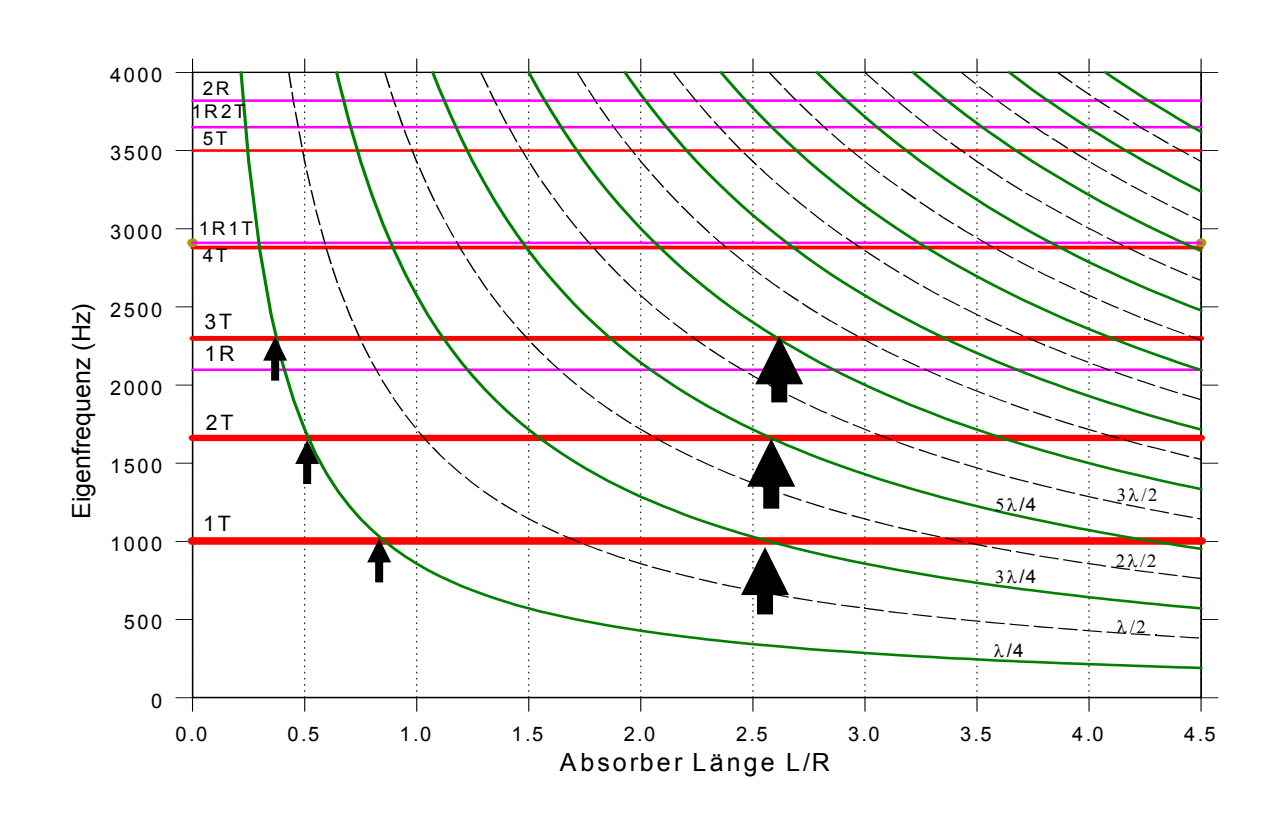
Turbulenzfördernde Elemente Zusammenfassung

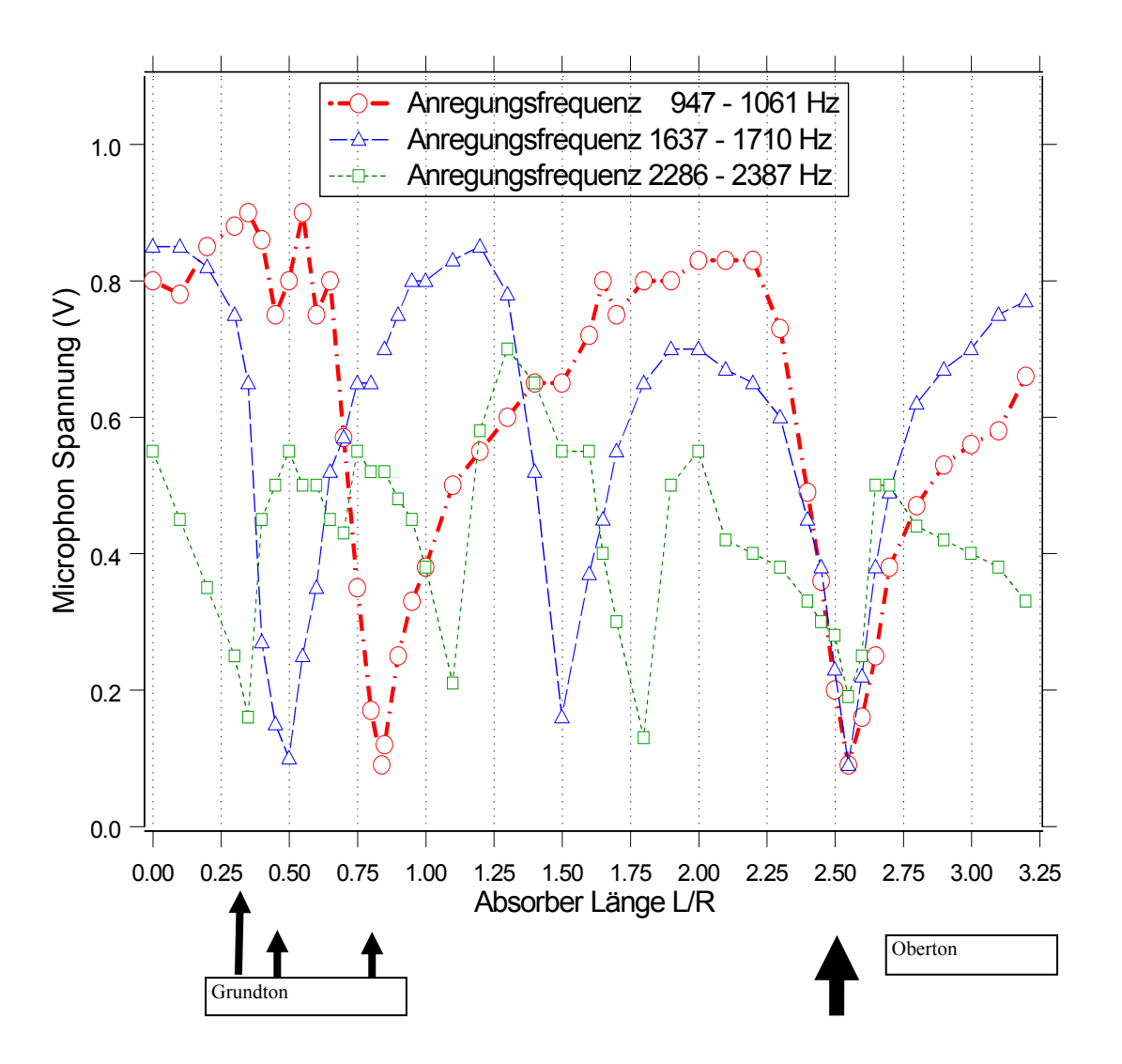
Durch turbulenzfördernde Elemente kann man die Dämpfungswirkung der Resonatoren erhöhen.

Bei turbulenzfördernden Elementen kann der Durchmesser der Resonatoren erhöht werden, wodurch die Robustheit gegen Änderung der Schallgeschwindigkeit verbessert wird, ohne Einbuße an akustischer Dämpfung.

Bei Erhöhung des Resonatordurchmessers und Anwendung turbulenzfördernder Elemente kann die Intensität der Druckschwankung in der Brennkammer um mehr als eine Zehnerpotenz reduziert werden.

Weitere Möglichkeiten der Dämpfungserhöhung der Resonatoren Modeunterdrückung mit Obertönen des Resonators





Modeunterdrückung mit Obertonschwingung des Resonators Zusammenfassung

Bei der dreifachen Anti-Crossing-Länge des ersten Tangentialmodes werden drei Tangentialmoden gleichzeitig unterdrückt:

der erste Oberton des λ /4-Rohres unterdrückt den 1T-Mode, der zweite Oberton unterdrückt 2T, der dritte Oberton unterdrückt 3T.

Bei diesem Verfahren werden bei der Unterdrückung des 1T-Modes die Moden 2T und 3T nicht verstärkt, da keine Modeumwandlung von 1T nach 2T und von 1T nach 3T stattfindet.

Schlussfolgerungen

Durch Kombination der geschilderten Maßnahmen kann die Anzahl der benötigten Resonatoren wesentlich reduziert und gleichzeitig die Dämpfungswirkung des Resonatorringes deutlich erhöht werden. Ferner wird dabei die Abhängigkeit der Modeunterdrückung von der Änderung der Schallgeschwindigkeit verringert.

DLR Patentanmeldungen

- Z. Faragó: Verfahren zur Einstellung der akustischen Eigenschaften einer Brennkammer; EP06117462.9
- Z. Faragó: Verfahren zur Dämpfungserhöhung durch ein Kapillarrohr im Resonator; EP06121964.8
- Z. Faragó: Verfahren zur Modeunterdrückung mit einem Oberton eines Resonators; DE 10 2006 007 711.3
- Z. Faragó, A. Michy: Optimale Resonatoranordnung; EP07100923.7
- Z. Faragó: Verfahren zur Dämpfungserhöhung durch Turbulenzerhöhung im Resonator; DE 10 2006 053 277.5

Referenzen

- [1] B. Knapp, M. Oschwald, S. Anders: Untersuchung der tangentialen Moden von hochfrequenten Verbrennungsinstabilitäten in Raketenbrennkammern; DGLR Jahrestagung 2005, Paper No. 189, September 2005
- [2] M. Oschwald: Numerical Determination of Eigen frequencies and Admittances for Multi Cavity Resonator Configuration, DLR-LA-HF-RP-018
- [3] Z. Faragó, S, Markgraf: Damping characteristics of combustion chambers coupled with acoustic elements, DLR–LA–HF–RP–020
- [4] Z. Faragó, M. Oschwald: Resonance Frequencies and Damping in Combustion Chambers with Quarter Wave Cavities; 6th Symposium on Launcher Technologies, November 8th to11th, 2005, Munich





School Lab

